

A deep space photograph showing a vast field of stars. A prominent galaxy, likely a spiral or edge-on galaxy, is visible in the center-right, glowing with a mix of blue and red light. Several bright stars are scattered throughout the field, some with prominent diffraction spikes. The background is a dark, star-filled expanse.

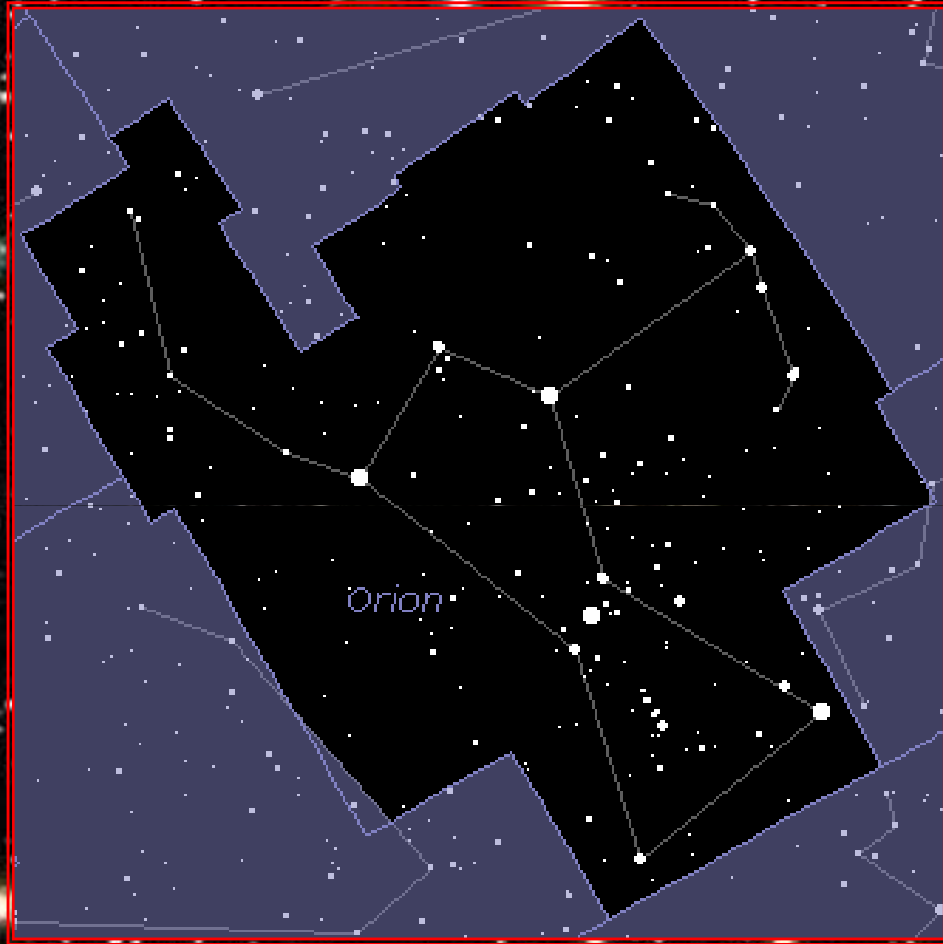
**Les nouveaux regards
sur l'Univers**



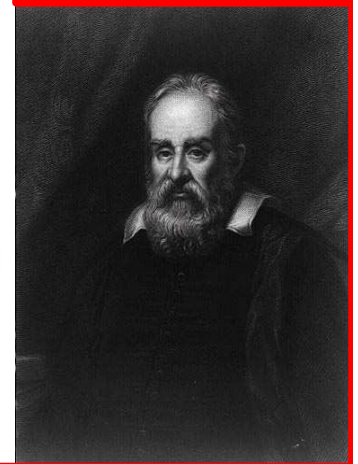
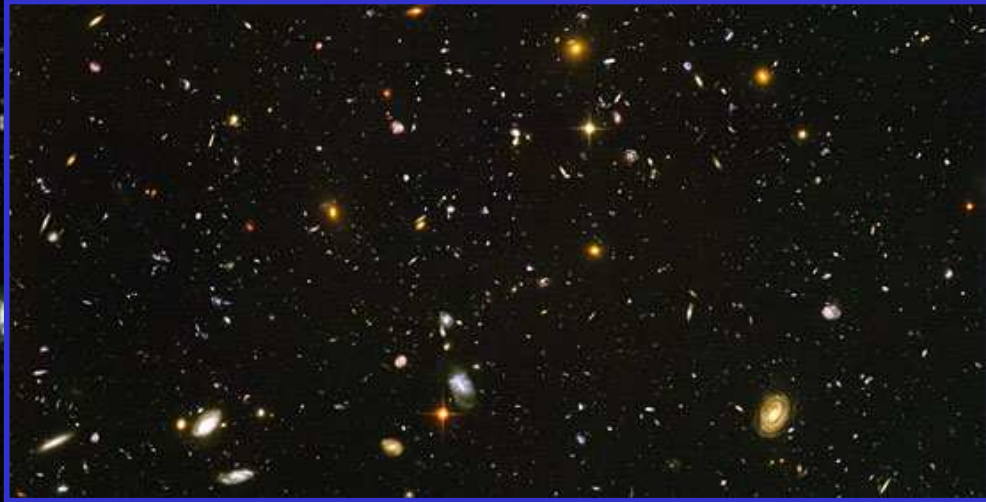
Comment étudier l'Univers

Univers "visible"

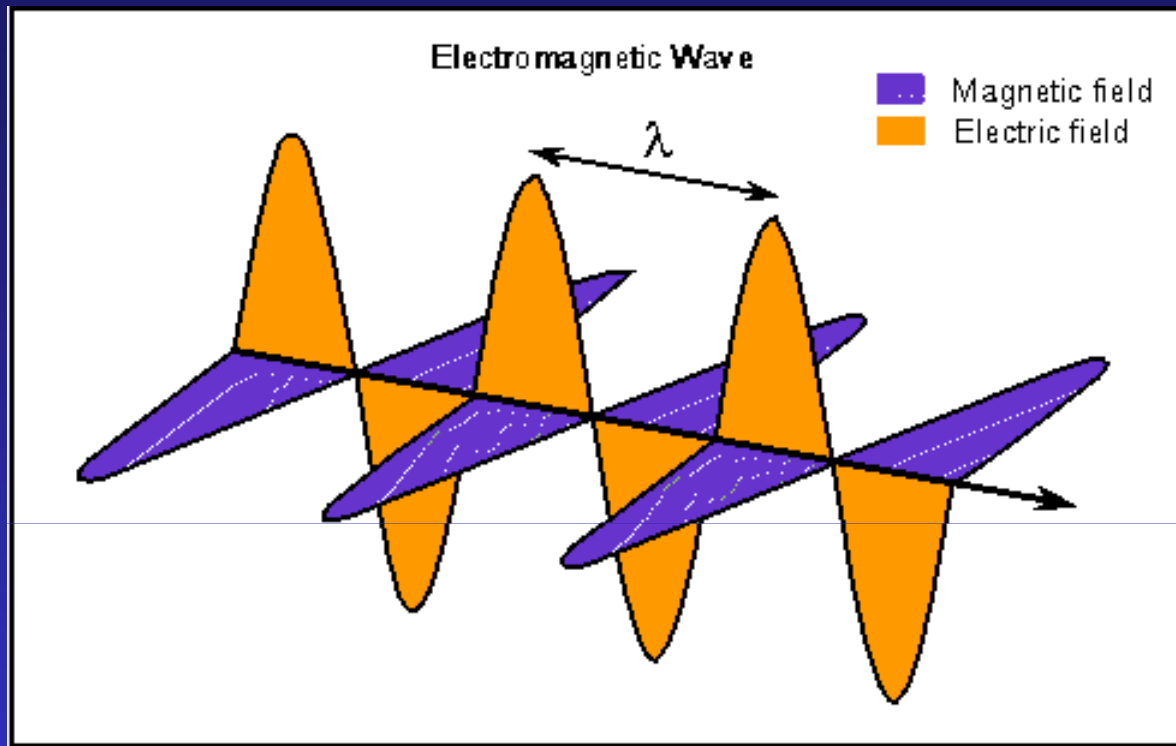
sans télescope



avec télescope

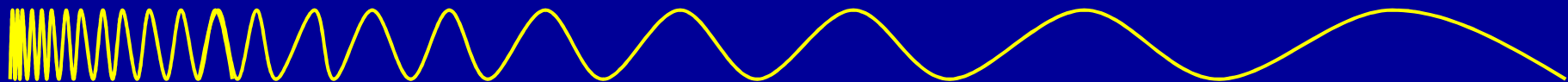
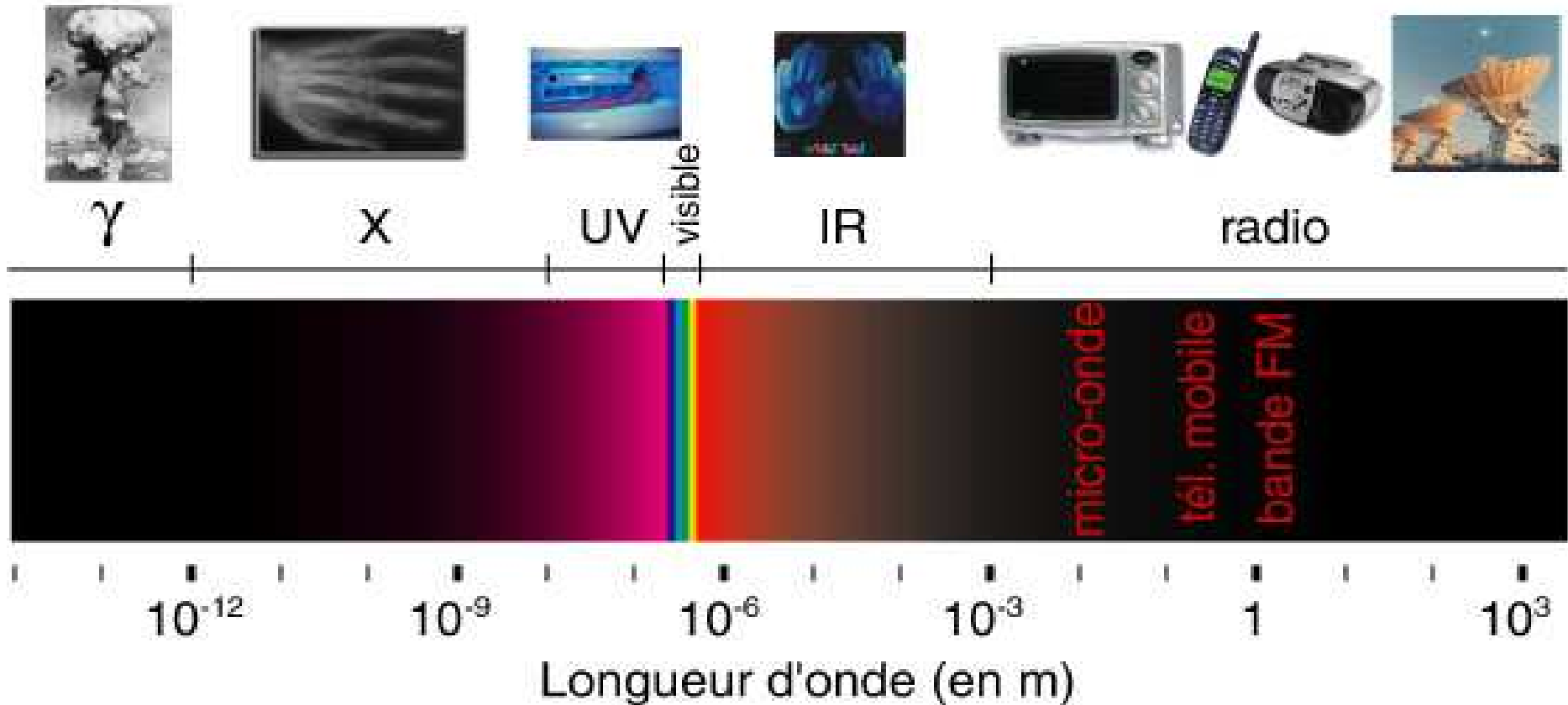


Lumière = Onde Electro-magnétique

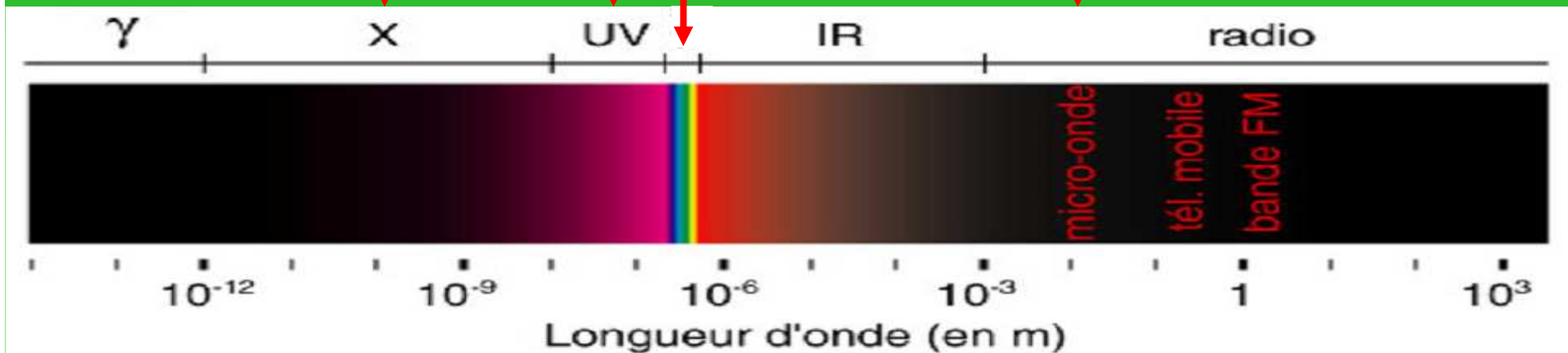
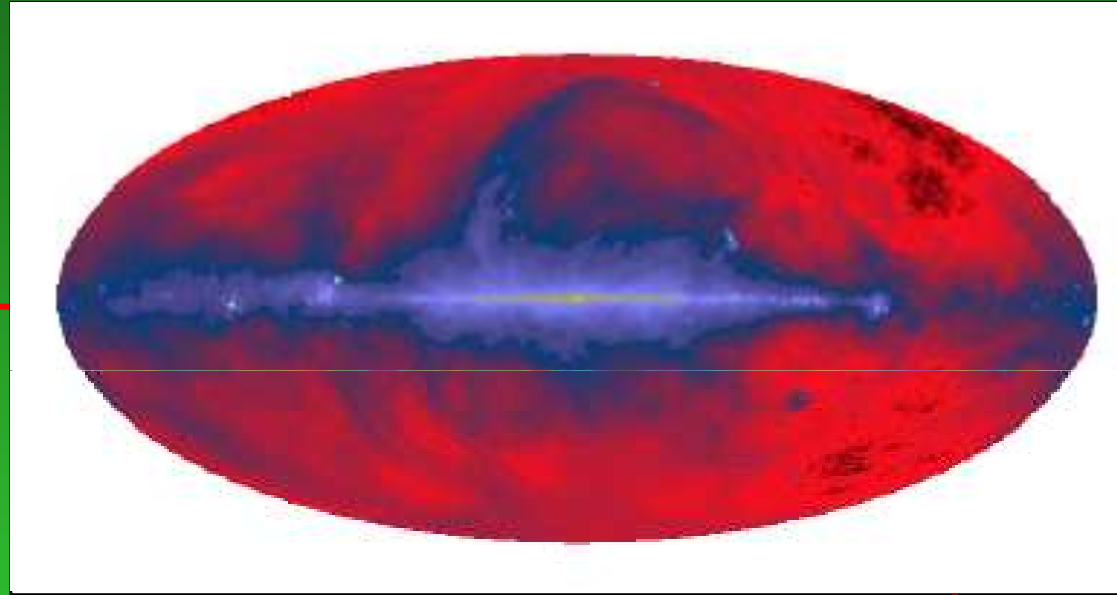


- Longueur d'onde: $\lambda = c/\nu$
- Fréquence: ν (Hz)
- Energie : $E = h \nu$ (photon = grain de lumière)
(Mécanique quantique)

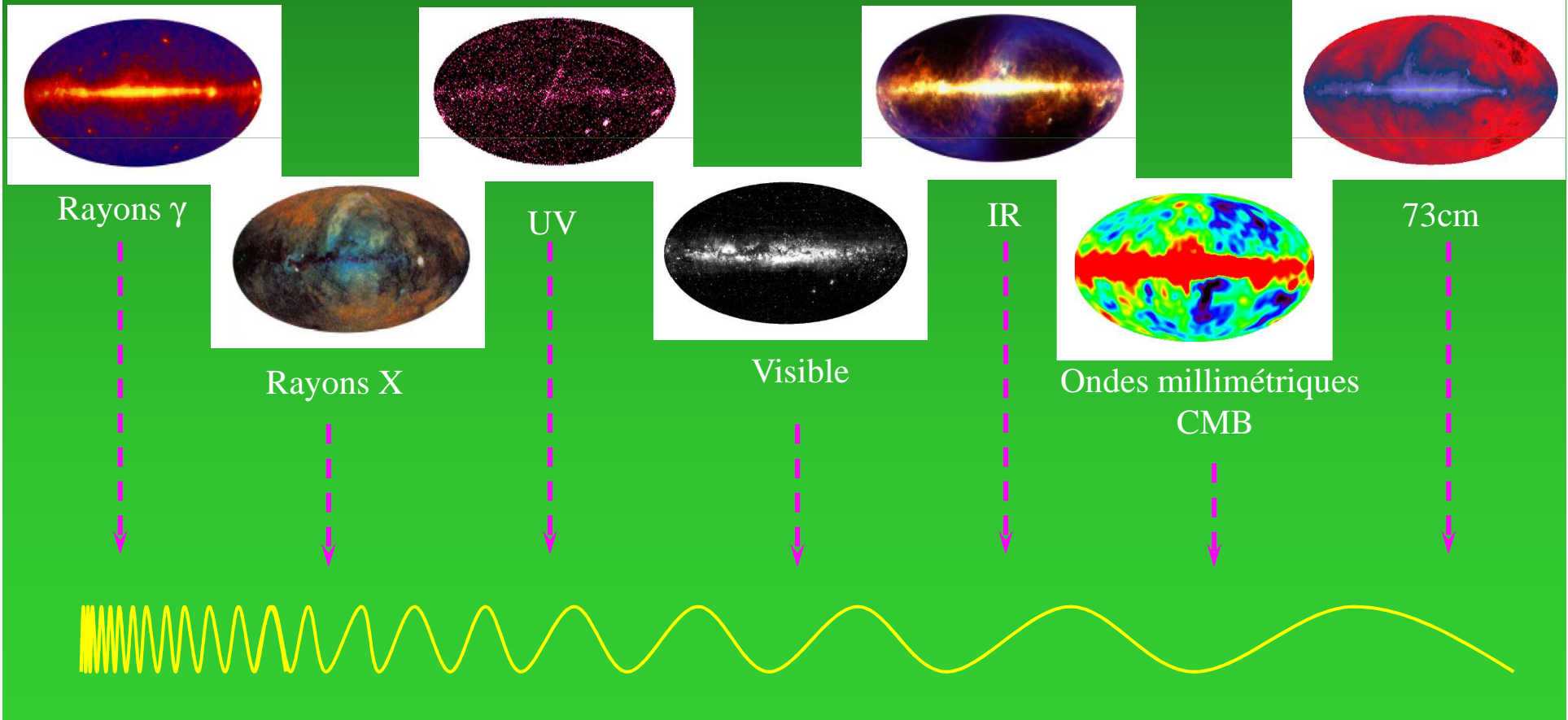
L'Univers à travers les ondes EM



Multiples fenêtres Électromagnétiques ouvertes à l'Univers



Multiples fenêtres Électromagnétiques ouvertes à l'Univers





Les nouvelles fenêtres

Les nouvelles fenêtres ouvertes à l'Univers



Astronomie neutrino

Les constituants élémentaires de la matière

Charge:

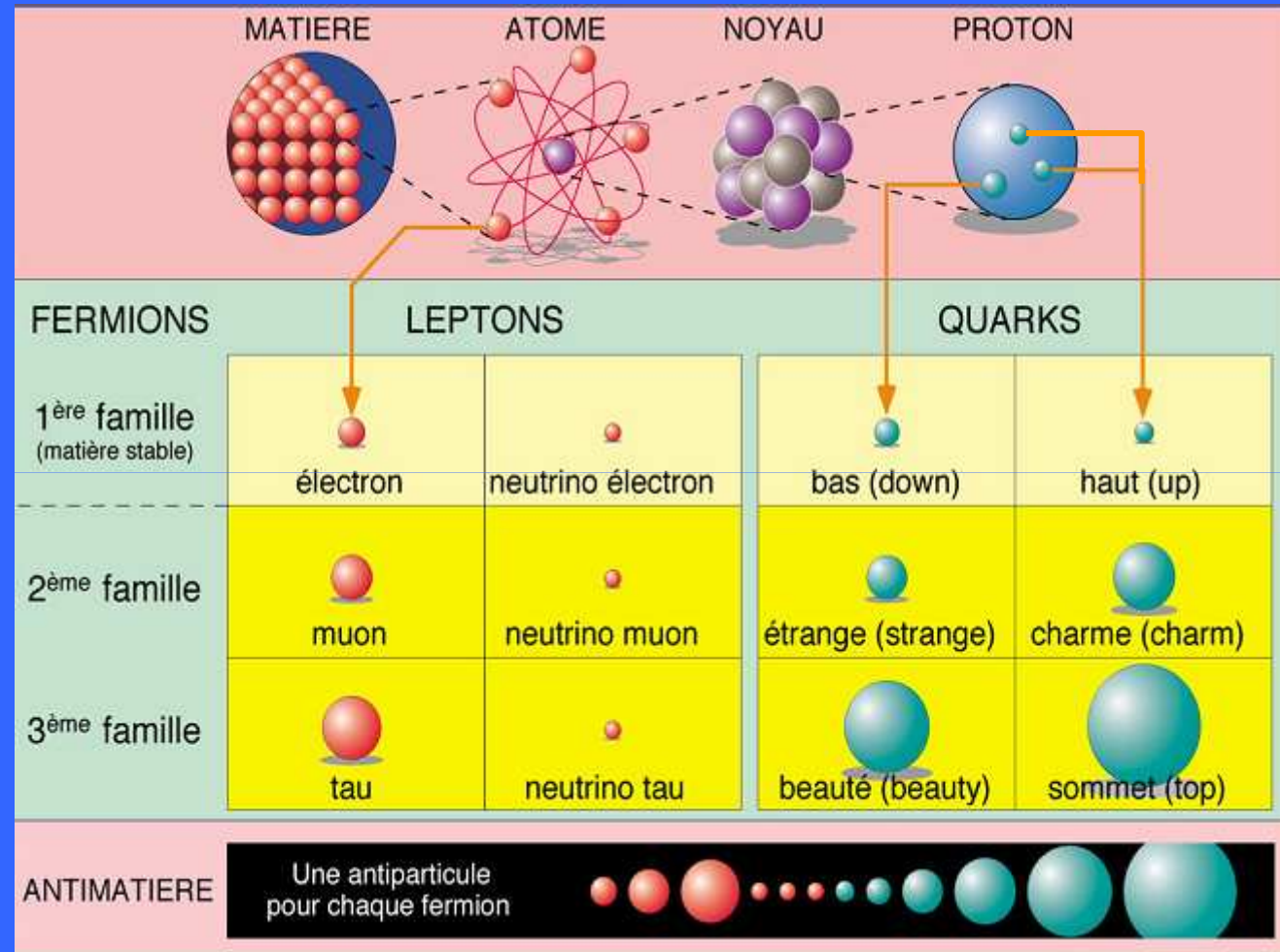
$$q_\nu = 0$$

Seule particule
élémentaire neutre

Masse :

$$m_\nu \sim 0$$

$$\frac{m_e}{m_\nu} > 500000$$



3 neutrinos ν_e, ν_μ, ν_τ

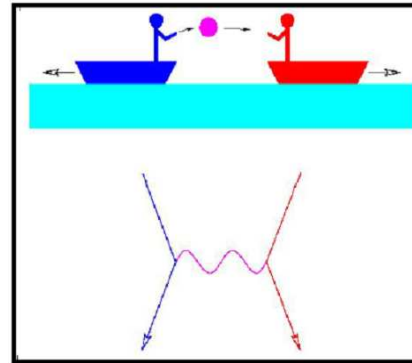
Le Modèle Standard

M
A
T
I
È
R
E

QUARKS

u	d
s	c
b	t

Quanta des Forces



LEPTONS

e	ν_e
μ	ν_μ
τ	ν_τ

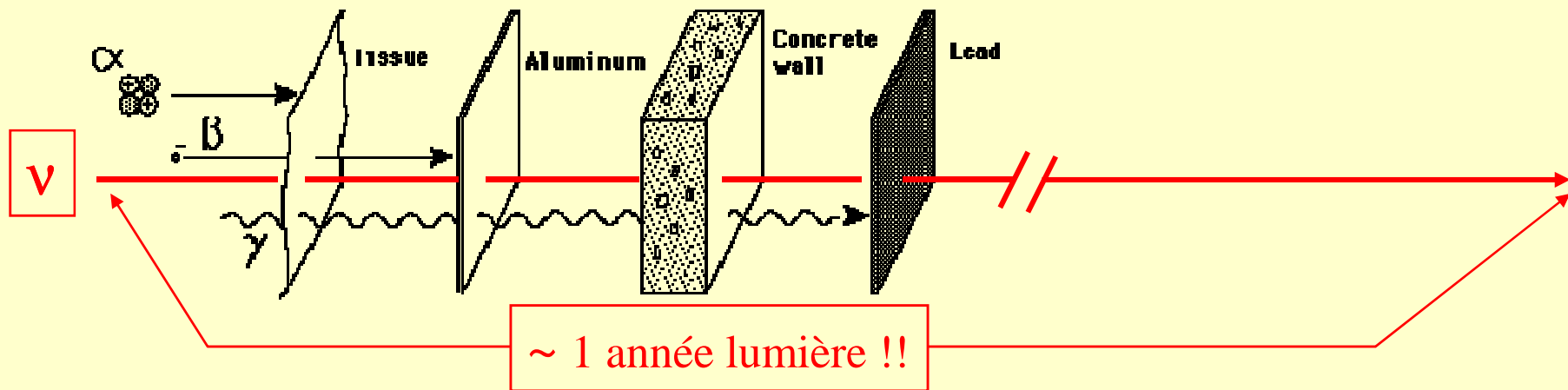
F
O
R
C
E
S

	Gravité	Electro-magnétisme	Force Faible	Force Forte
FORCES				
QUANTA	Graviton	Photon	bosons W et Z	Gluon
	Portée : infinie	infinie	10^{-18} cm	10^{-13} cm
	Intensité : 10^{-38}	10^{-2}	10^{-7}	1

Le neutrino ne "sent" que l'interaction faible !

$m_\nu \sim 0$
 $Q_\nu = 0$
Interaction faible

Le neutrino, particule passe-muraille



- Le neutrino peut sonder les régions les plus reculées de l'Univers
- Le neutrino peut sonder les régions les plus intimes des objets cosmiques

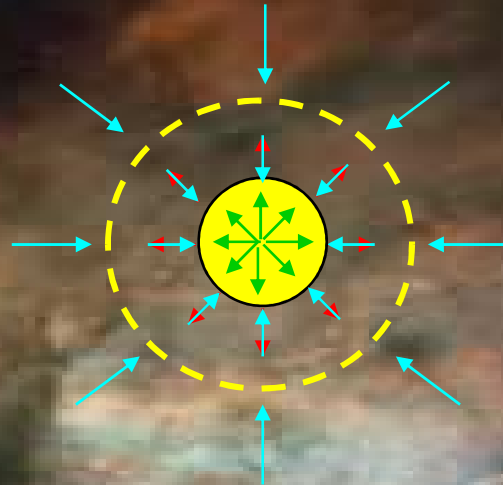


Les Neutrinos dans l'Univers

A full-disk image of the Sun captured in the 171 Å iron emission line by the Solar and Heliospheric Observatory (SOHO). The image shows a vibrant blue sun with intricate patterns of solar activity, including sunspots and coronal loops, visible against a dark background. The text "Les neutrinos des étoiles" and "Le Soleil" is overlaid in yellow on the central part of the sun.

Les neutrinos des étoiles
Le Soleil

SOHO, 171A Fe emission line



Gravitation

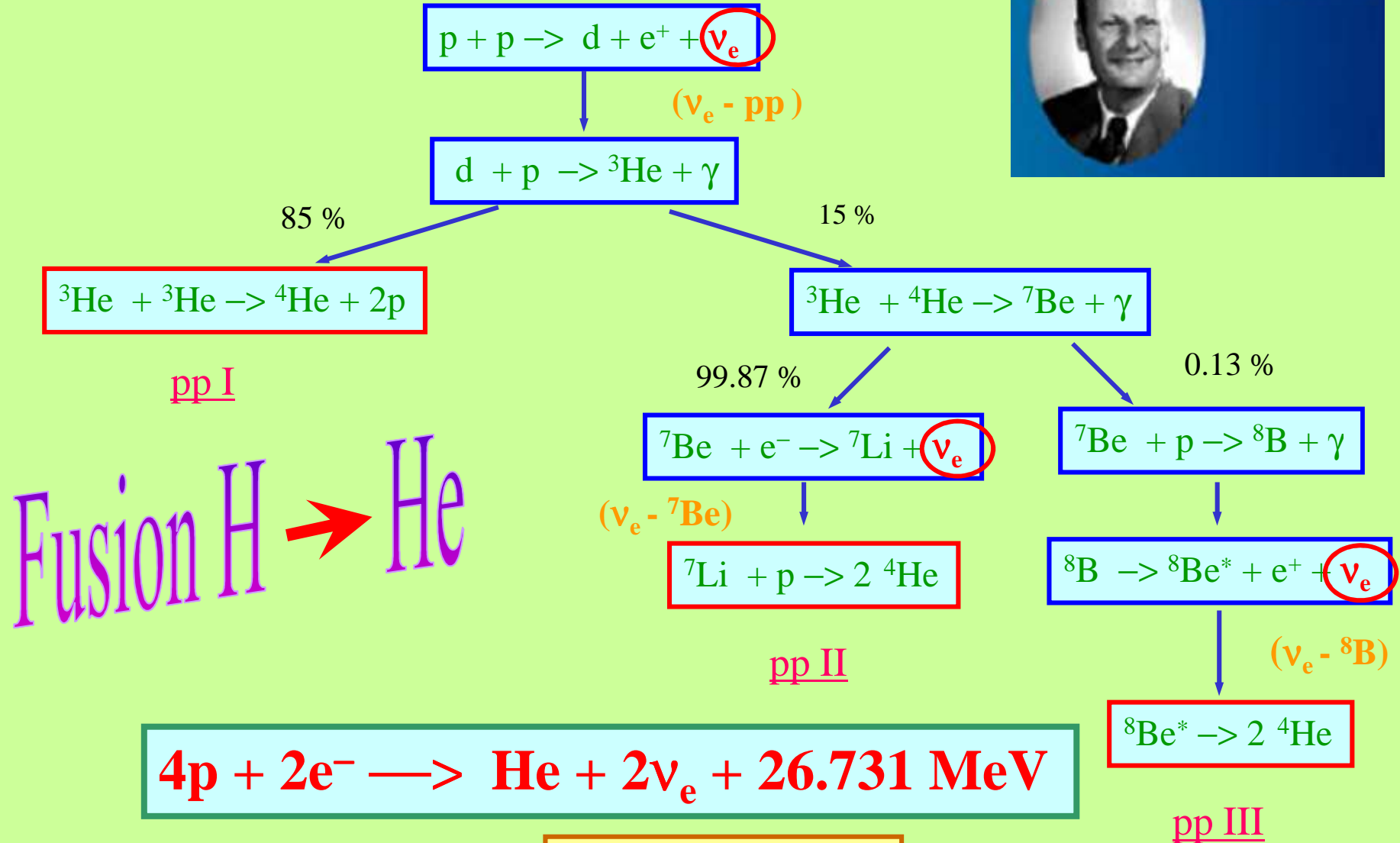
Radiation

Fusion nucléaire

Gravitation

Equilibre dynamique
 $T \sim 14$ Millions de $^{\circ}\text{K}$

Comment cela marche ?



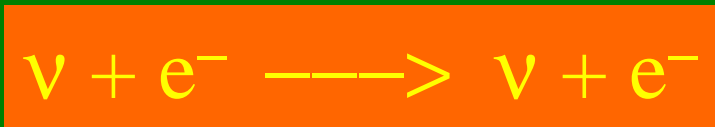
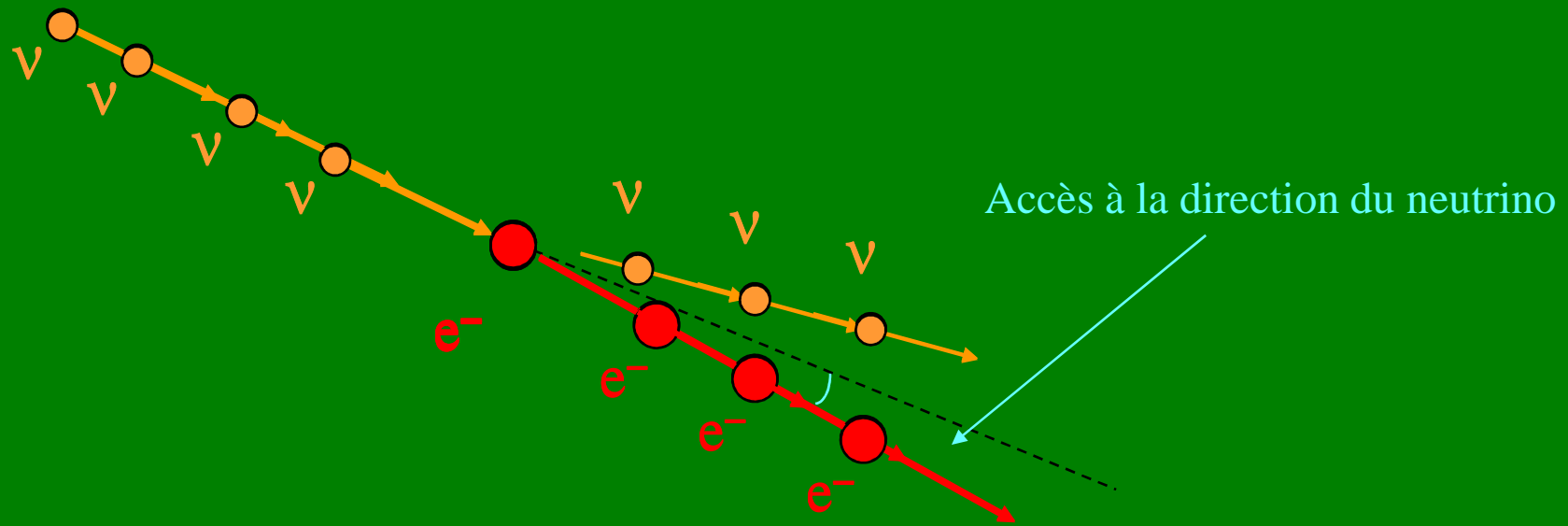
Dont 46 milliards /cm² / s sur la Terre

N_ν ~ 2 · 10³⁸ s⁻¹

1964 Ray Davis propose de detecter les ν du soleil



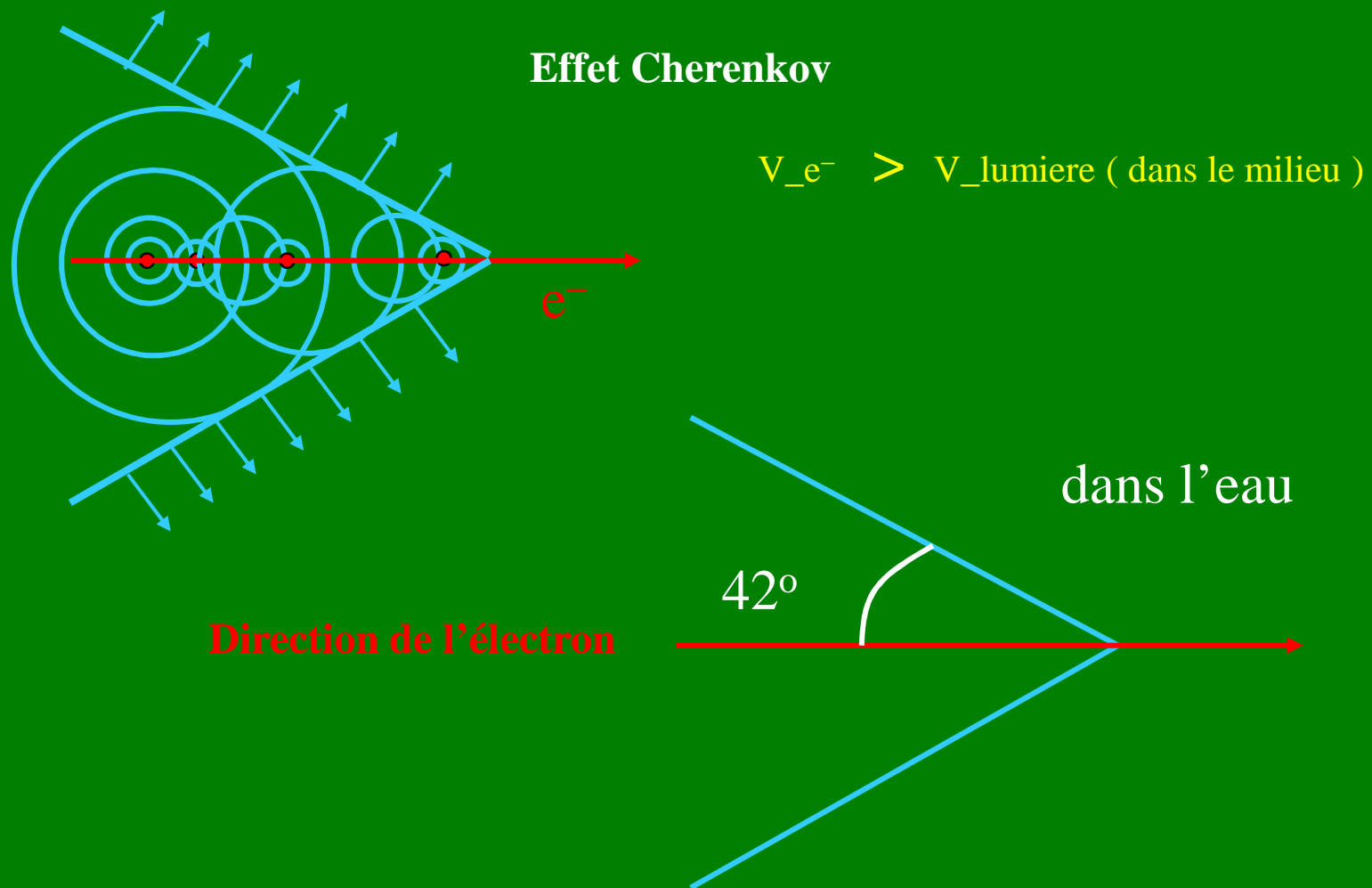
Détection directe des neutrinos



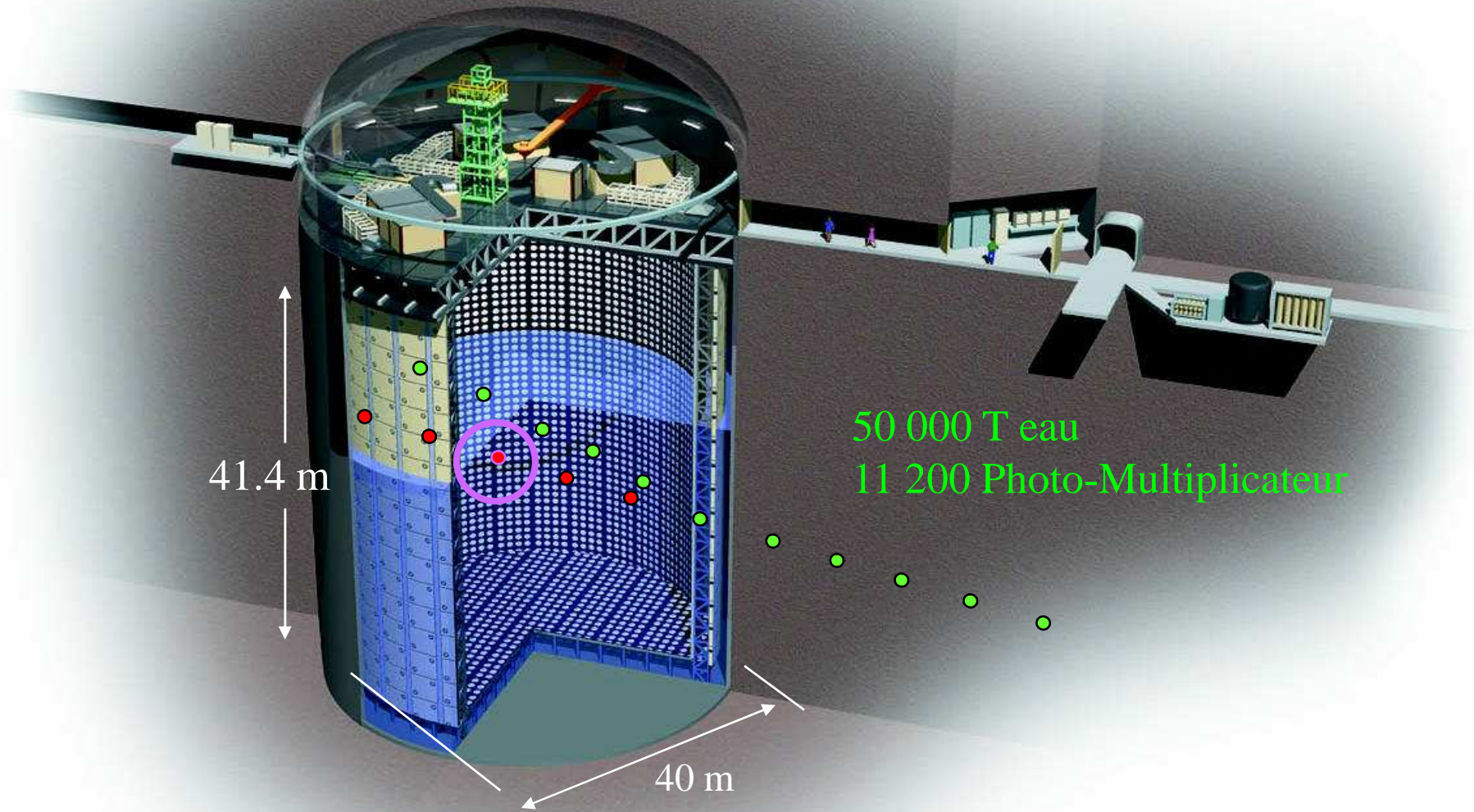
(Diffusion élastique)

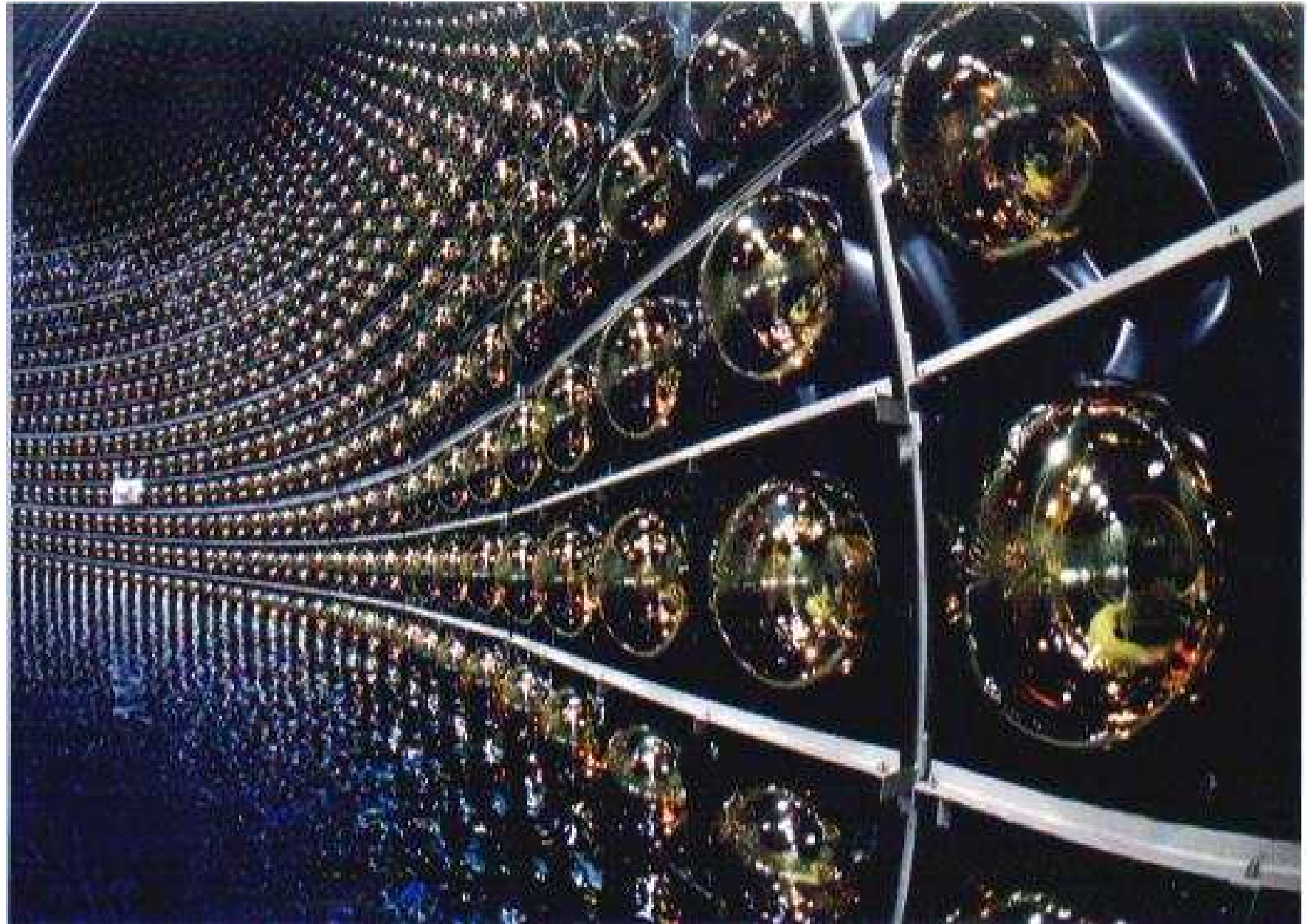
Détection directe des neutrinos

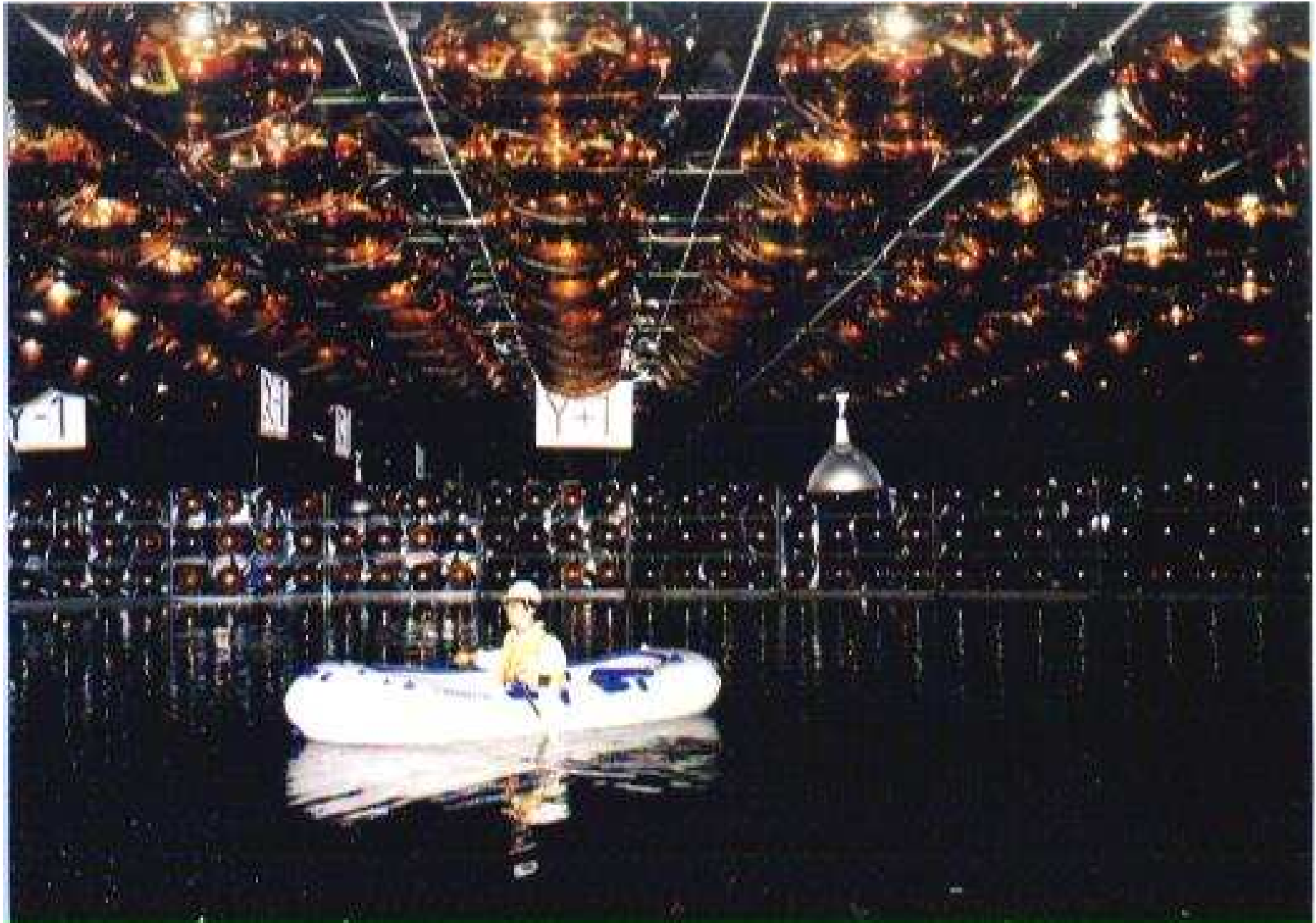
Déplacement d'une particule chargée dans un milieu transparent



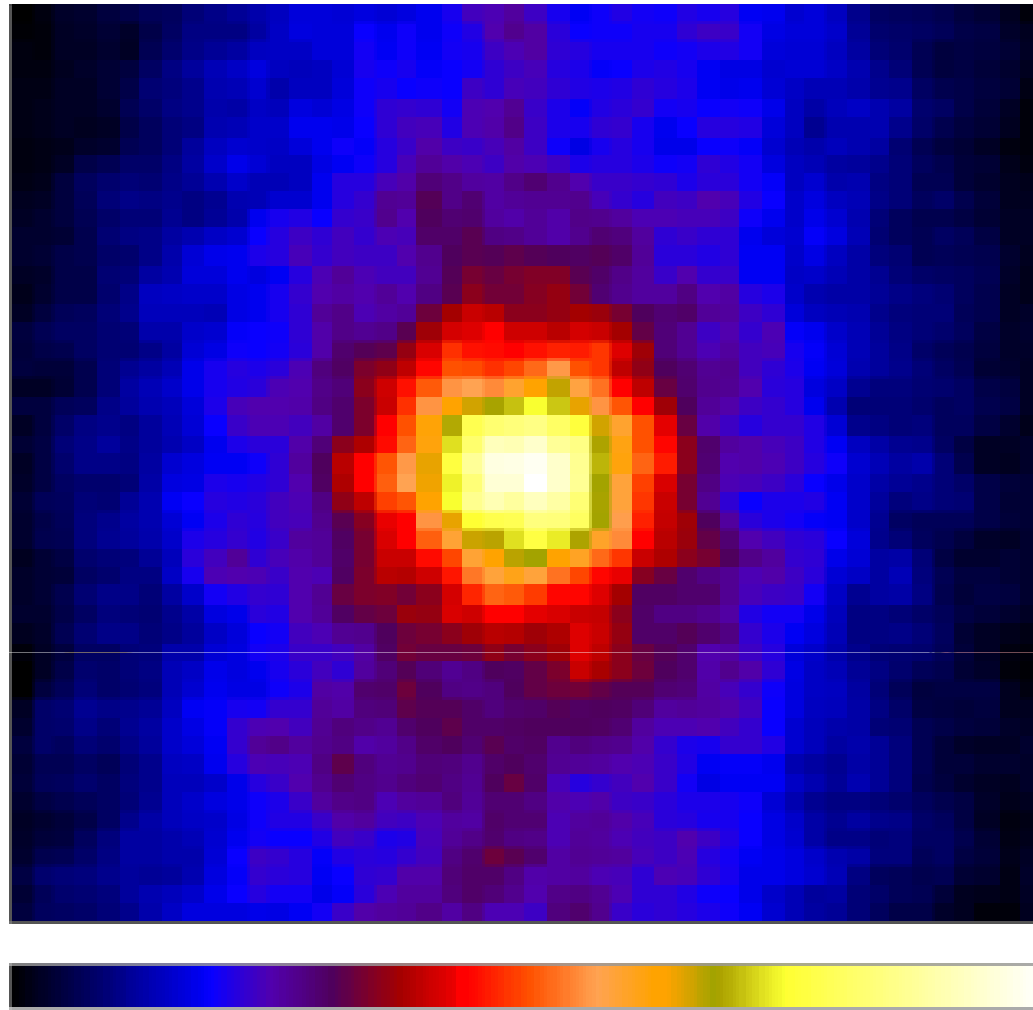
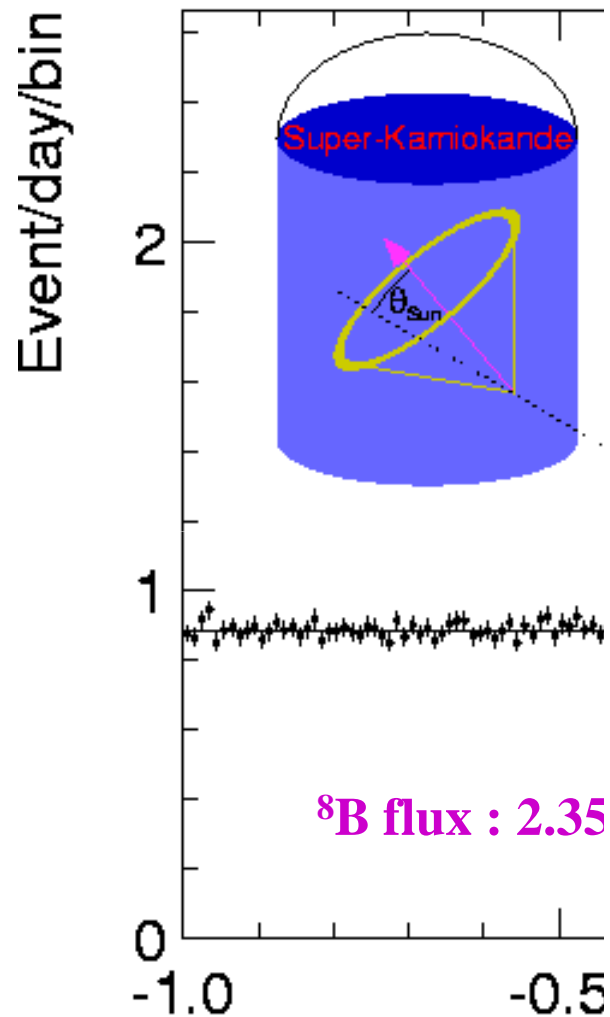
Super Kamiokande







Resultat 31/0



Super- K (Japan) image
of the sun using neutrinos



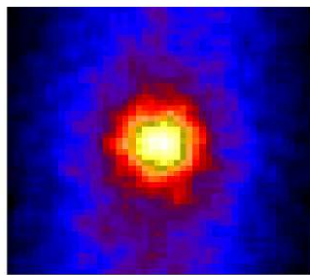
The Nobel Prize in Physics 2002



Raymond Davis Jr.



Masatoshi Koshihara



Super-K (Japan) image of the sun using neutrinos

=> neutrino oscillation

SOHO, 171A Fe emission line

Astronomie neutrino au delà du soleil

23 fevrier 1987, Grand Nuage de Magellan (150000 a.l.)

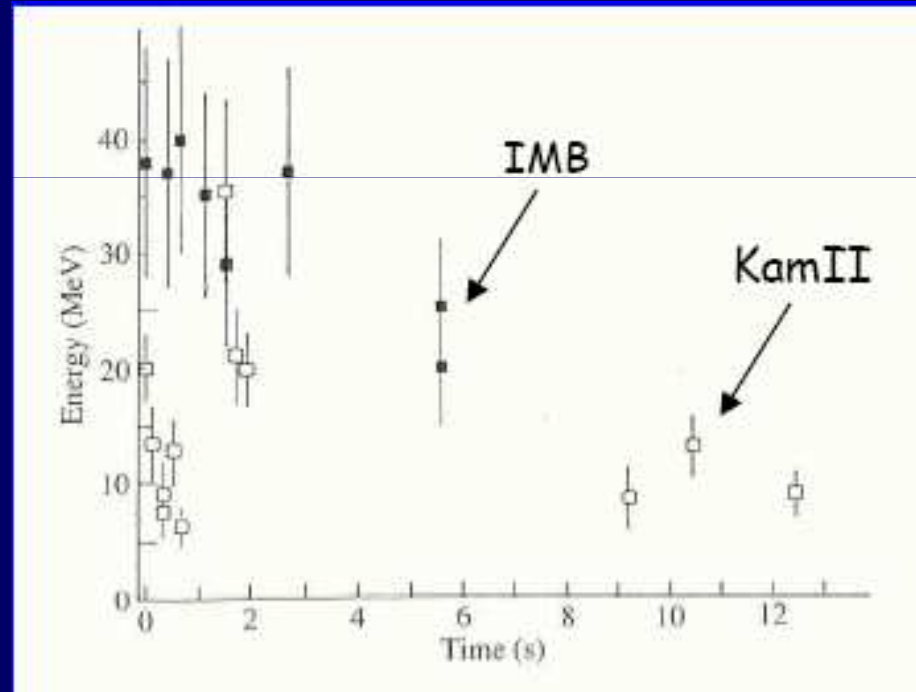
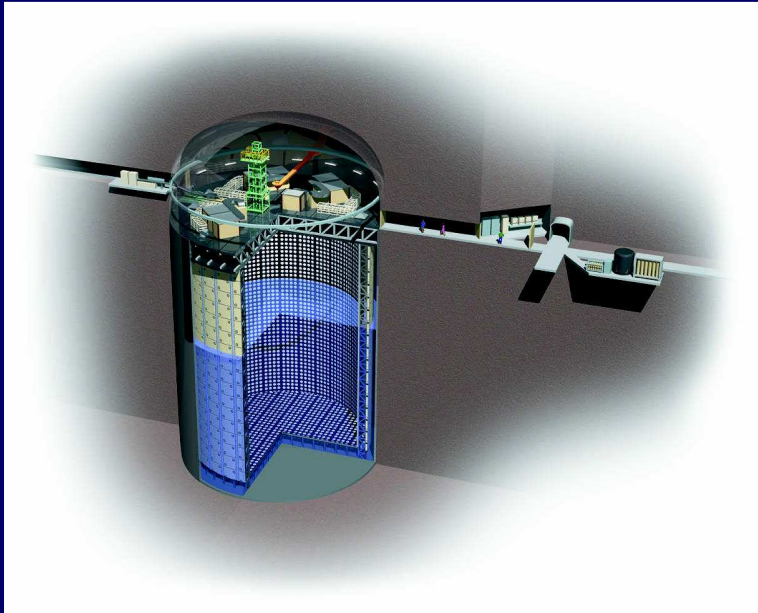


Tarantula Nebula in LMC (constellation Dorado, southern hemisphere)
size: ~2000ly (1ly ~ 6 trillion miles), distance: ~180000 ly

Supernovae
1987A

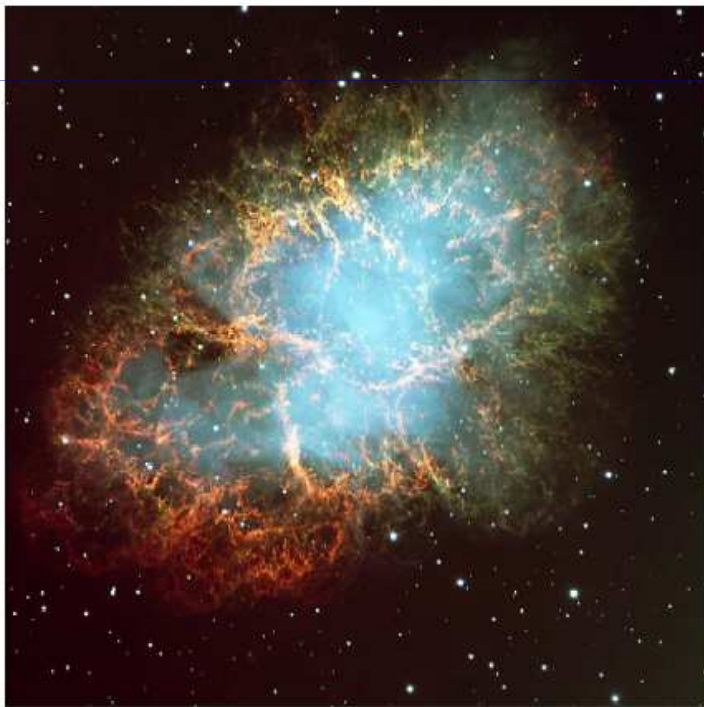


On a vu les neutrinos de la SN !



Les supernovae "historiques"

Nebuleuse du Crabe



The Crab Nebula in Taurus (VLT KUEYEN + FORS2)

ESO PR Photo 40/99 (17 November 1999)

© European Southern Observatory



an

185

369

1006

1054

1181

1572 Tycho Brahe

1604 Kepler

1987A

Chinois

→ Première (et seule) observée en v

Betelgeuse
(20 Mo, 310 a.l.)



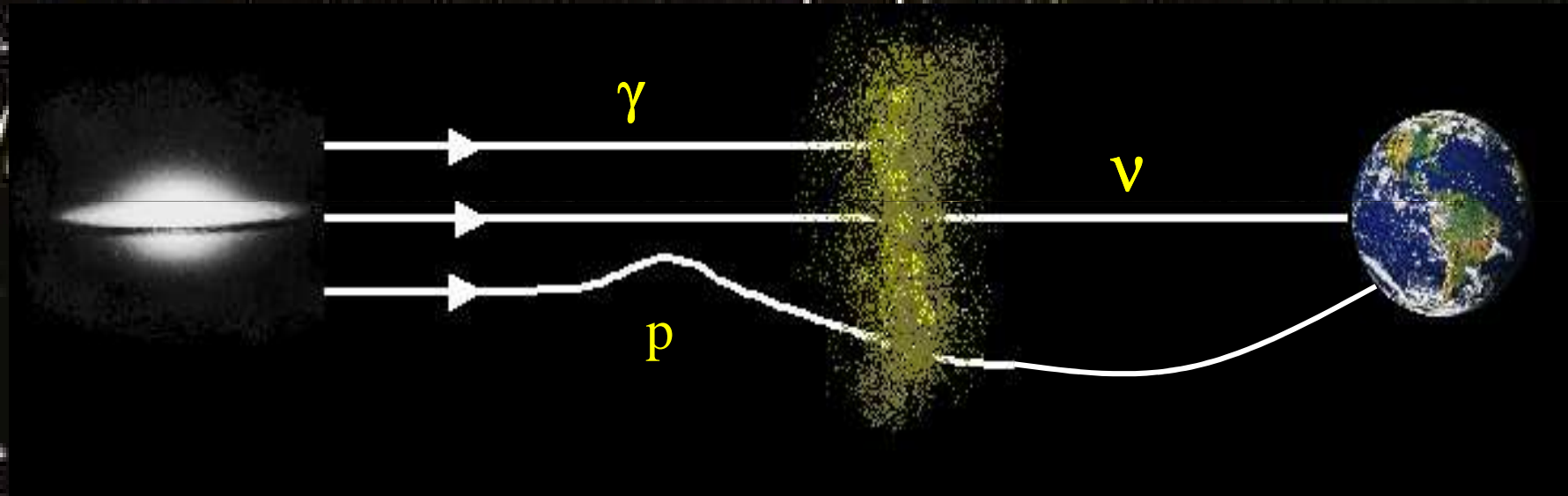
et “prochainement”

Astronomie de l'extrême



Astronomie Haute énergie

Messagers : γ , p , ν

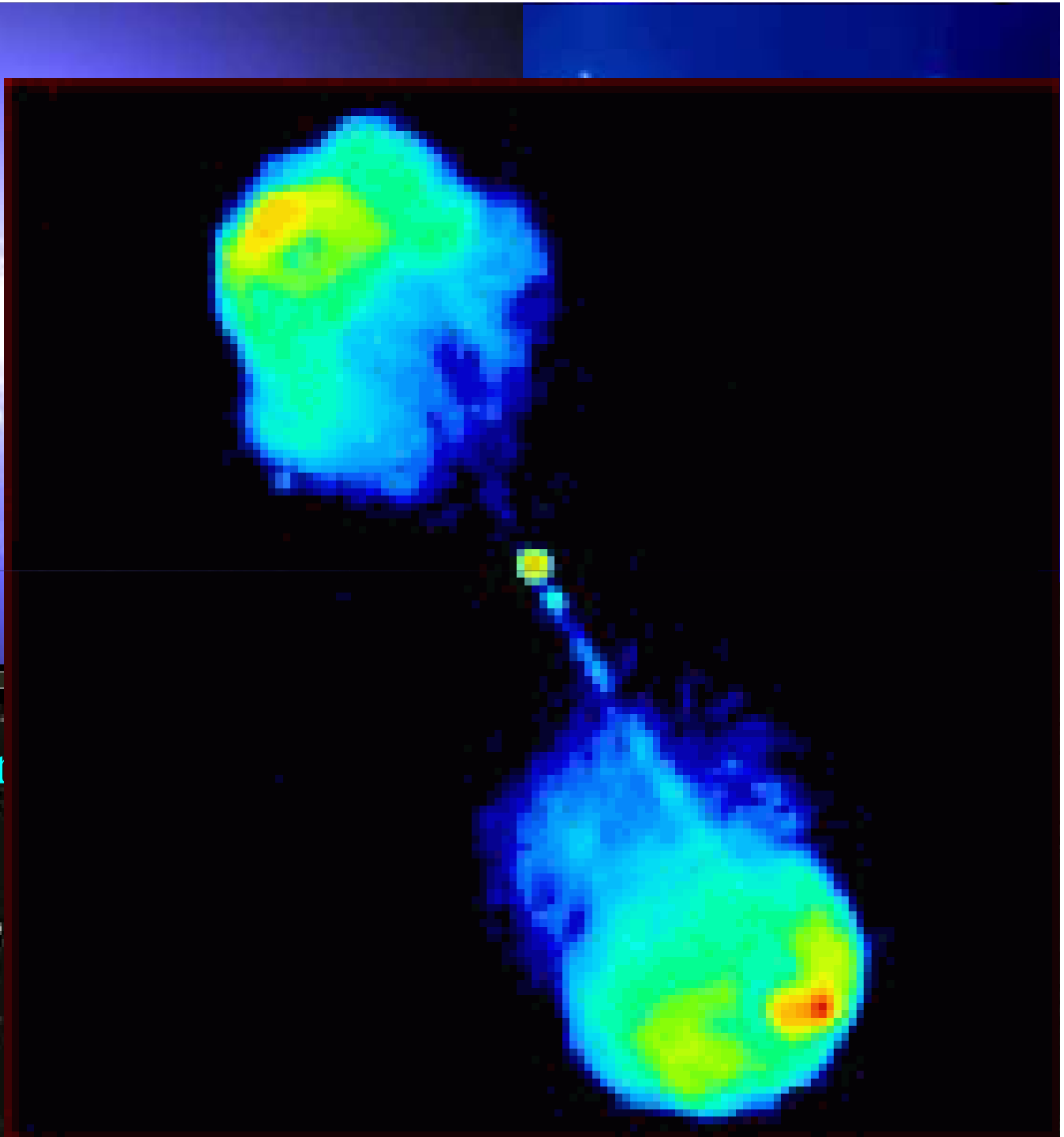




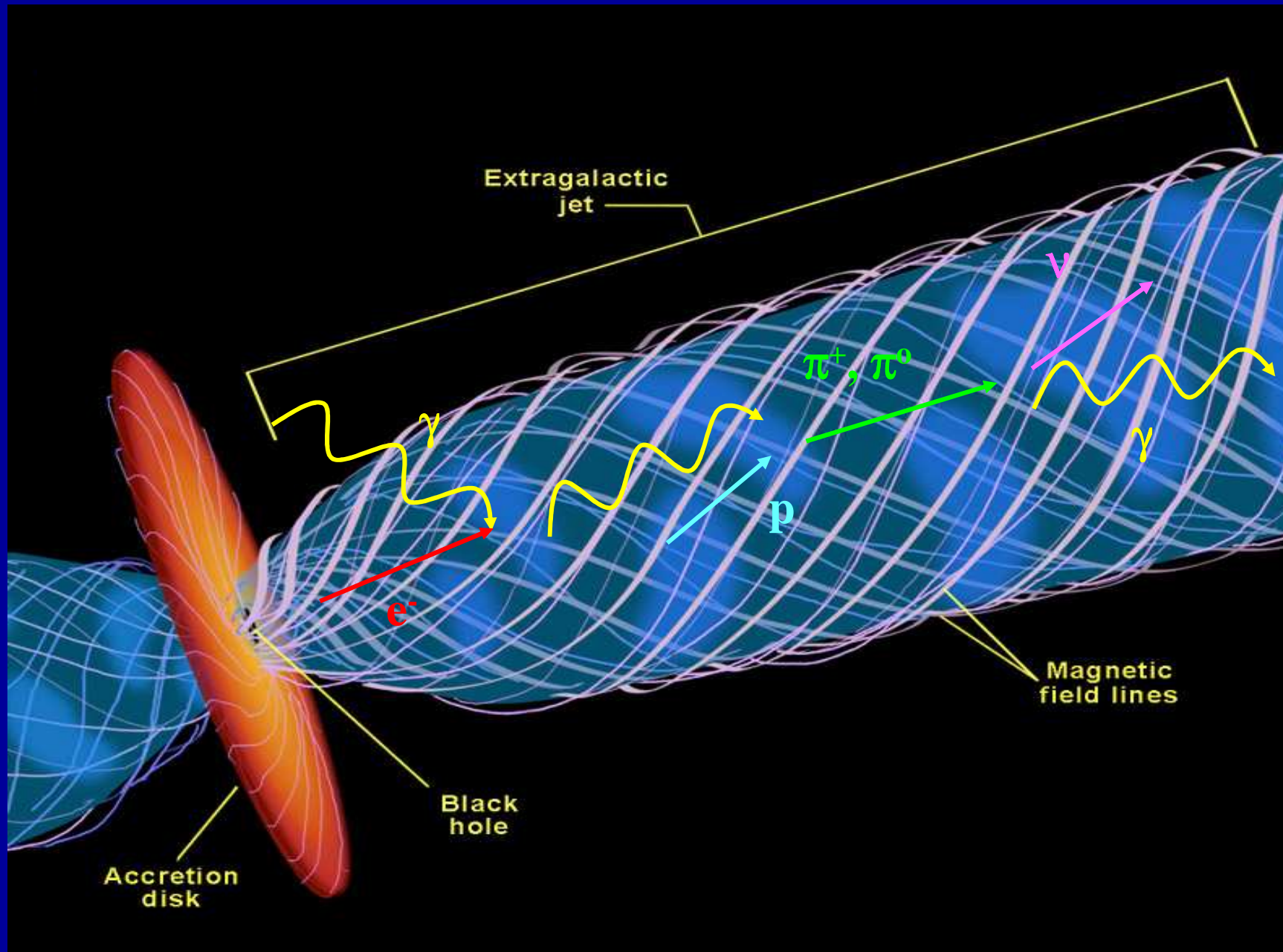
SCIENCE
INSTITUTE

– Sources Extr

- AGN
- GRBs



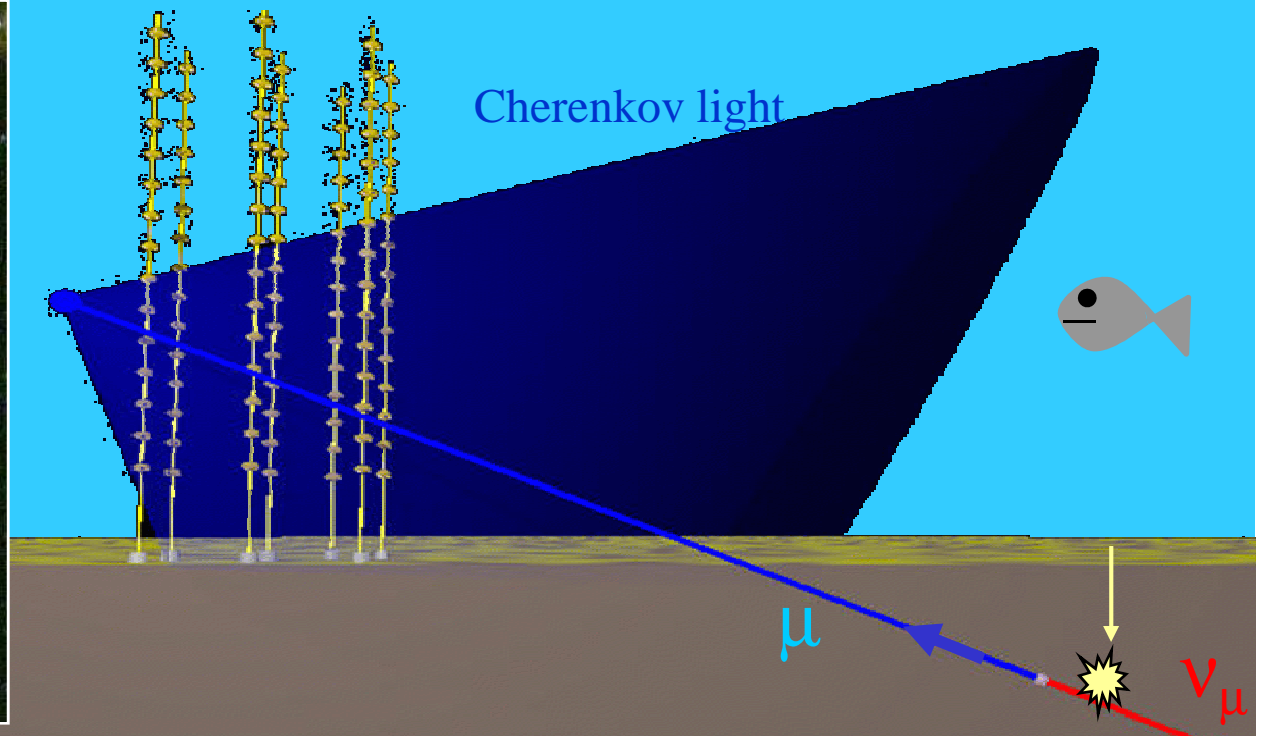
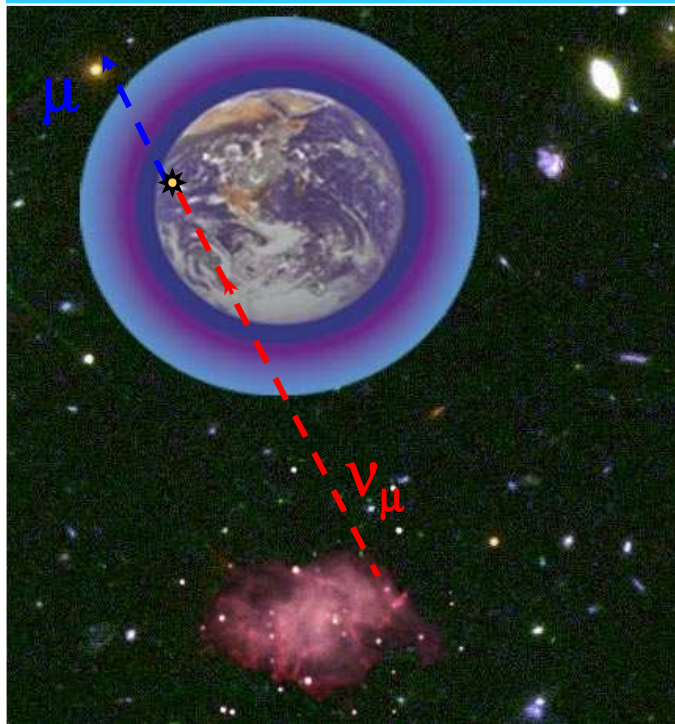
Accélérateurs cosmiques



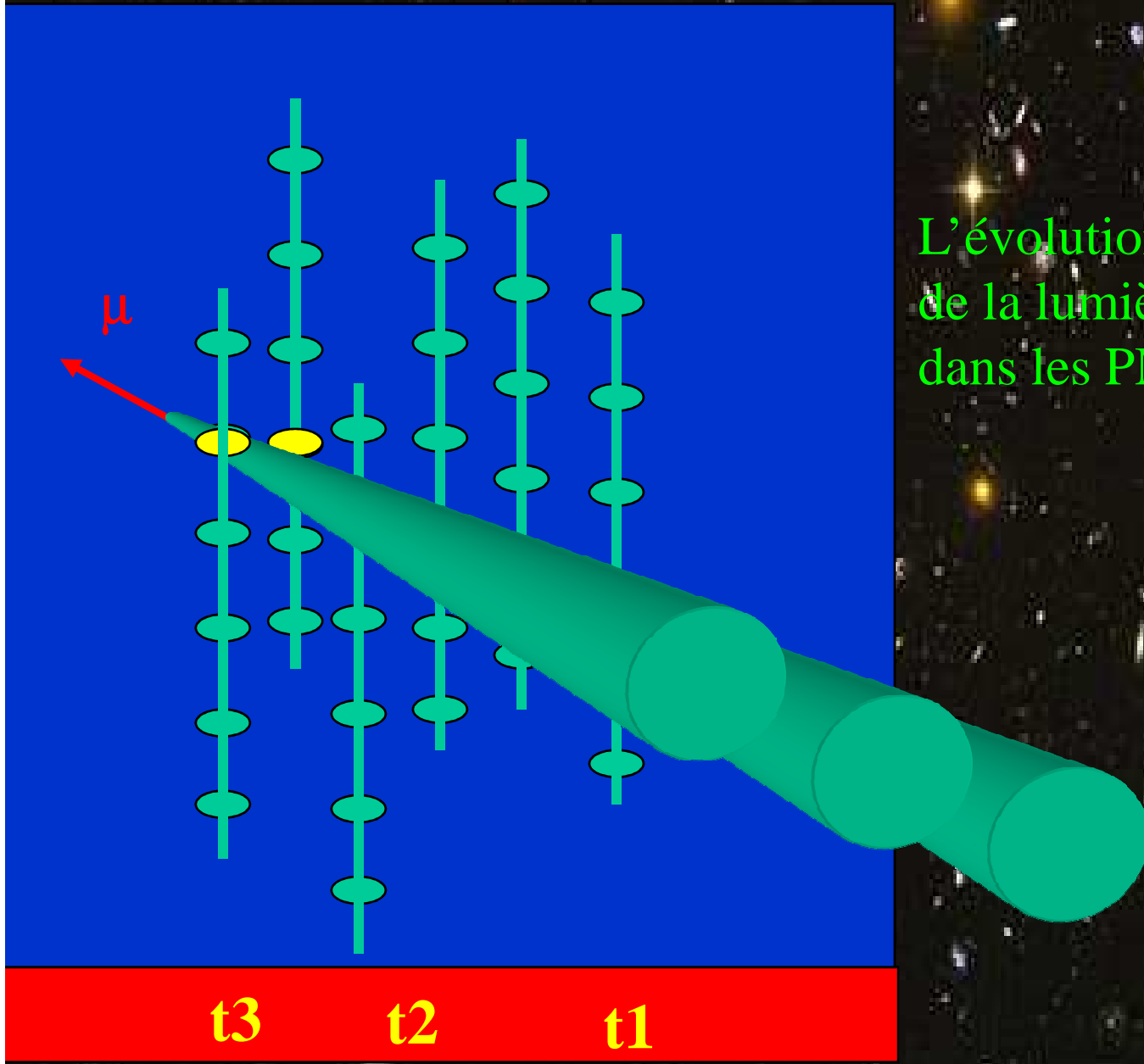
Comment détecter les ν haute énergie

Très faibles flux => très grand détecteurs => Détecteur "naturel"

- Lumière Cherenkov dans l'eau de mer ou la glace
- Produite par les muons issus des neutrinos muoniques

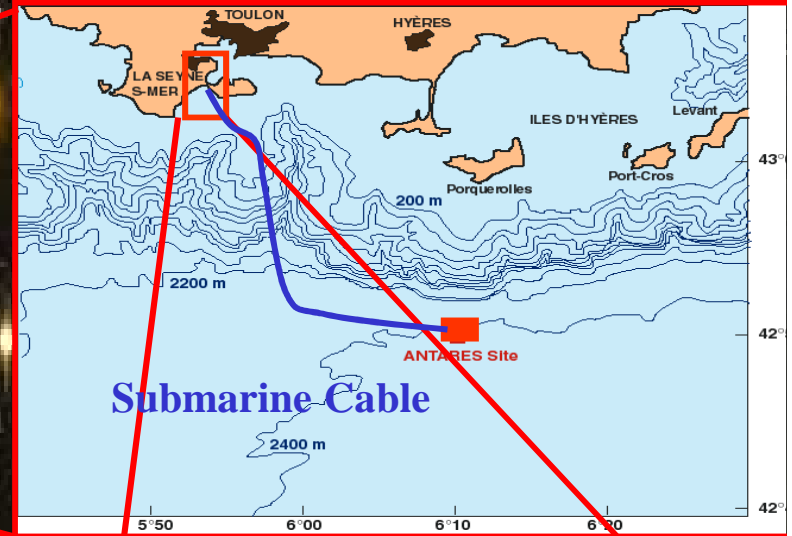
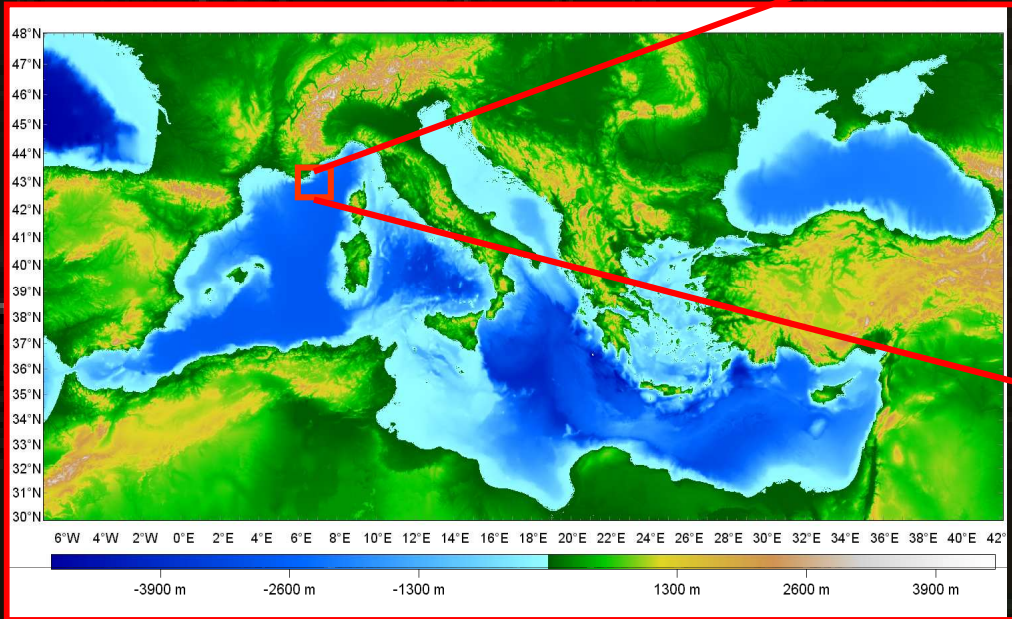


Reconstruction de la trajectoire



L'évolution en temps
de la lumière Cherenkov
dans les PM donne la direction

ANTARES



Shore Station

Telescope ANTARES

- 12 lines
- 25 storeys / line
- 3 PMTs / storey
- 900 PMTs

Installation 2007

14.5 m

450 m

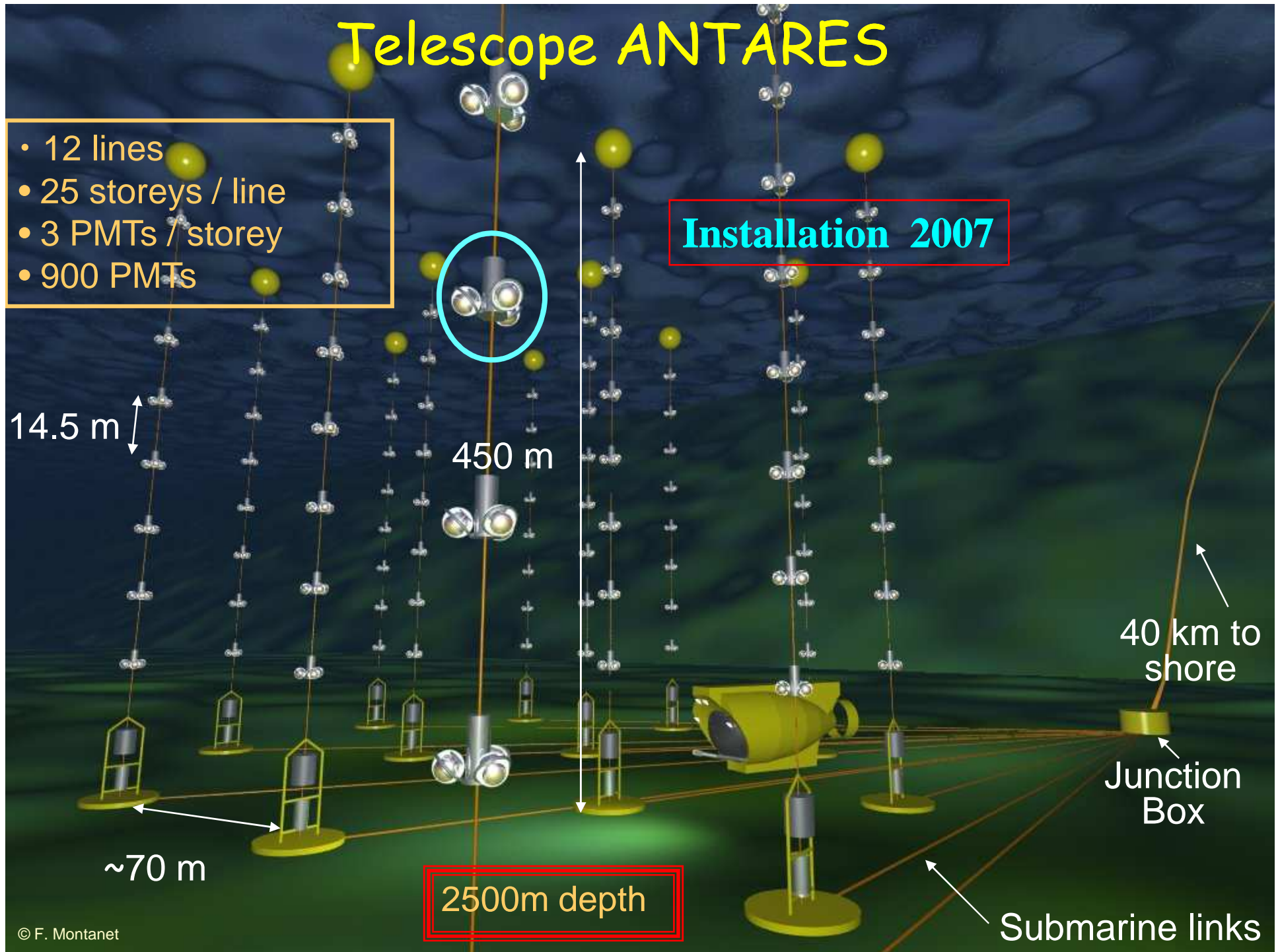
40 km to shore

Junction Box

~70 m

2500m depth

Submarine links





Prototype sector line PSL & MIL

March 2003

Prototype
Sector
Line
(PSL)
Dec 2002

Mini
Instrumentation
Line
(MIL)
Feb 2003

PLS : 1/5 of a complete line

5 Storeys of
Optical Modules

Probe for
Sound velocity

Profiler for
Sea current
(ADCP)

Probe for salinity and
temperature (CTD)

LED Beacon

hydrophone

Junction Box

hydrophones

Junc Box
Dec 2002

Seismograph

Anchor with
electronics
containers

Laser Beacon

Link Cables

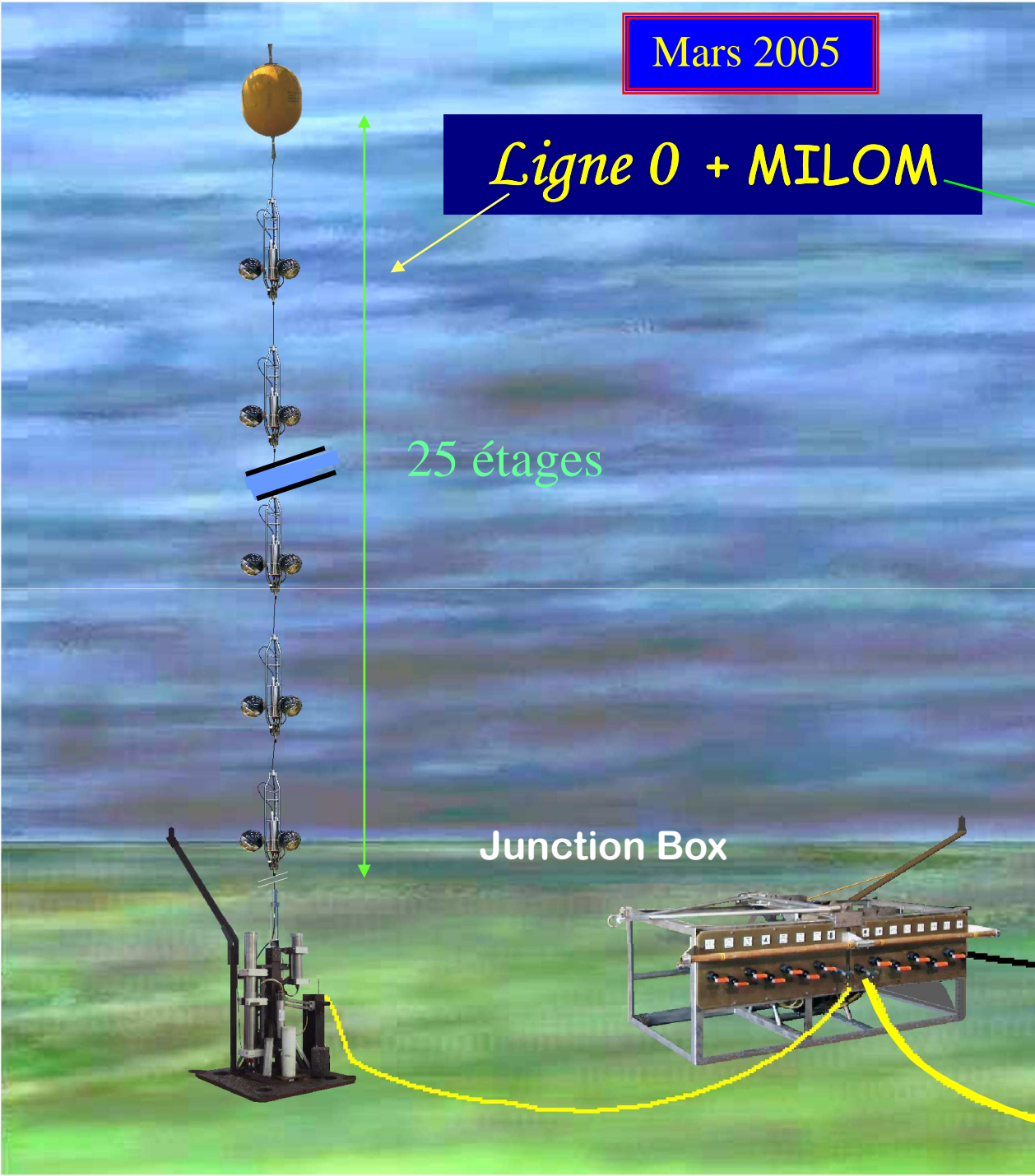
EO cable
Oct 2001

Mars 2005

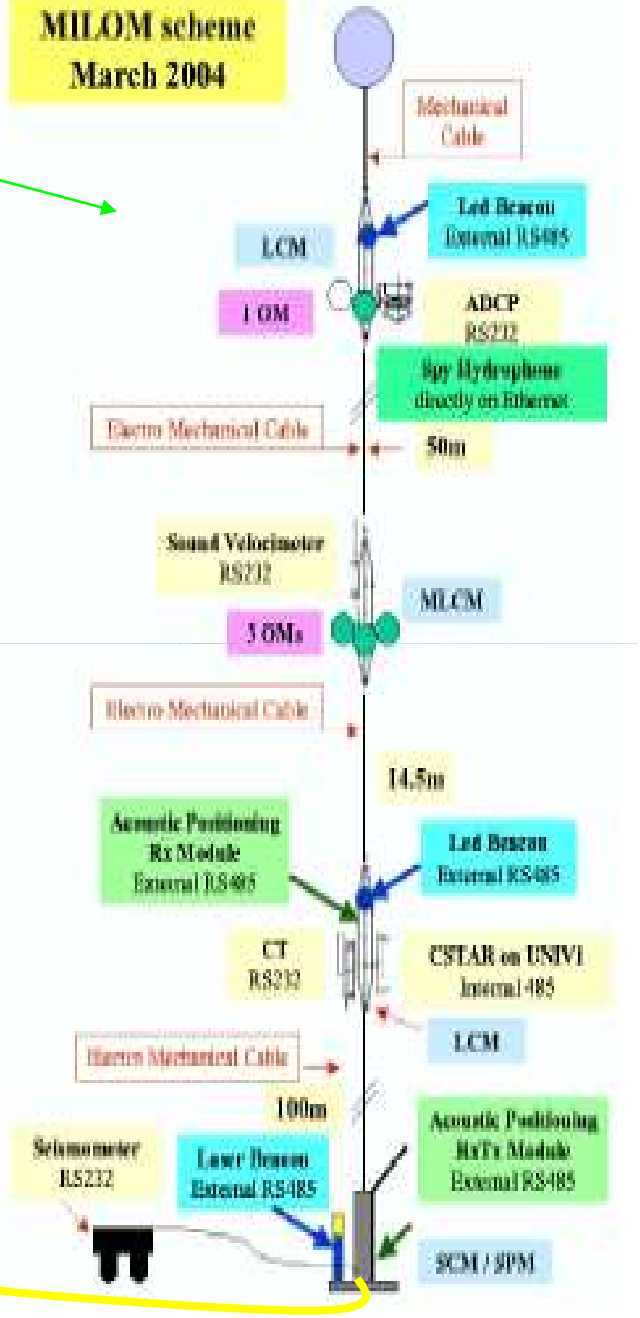
Ligne 0 + MILOM

25 étages

Junction Box



MILOM scheme
March 2004



- Surveillance du site

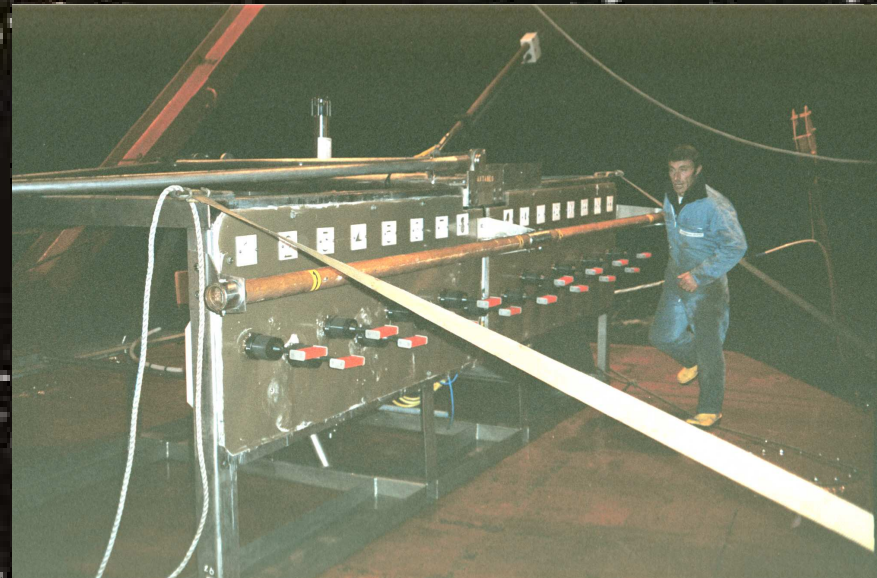


- Approximately 1 big object per ha
- All objects around detector location measured

- Déploiement du câble électro-optique



- Déploiement de la boîte de jonction



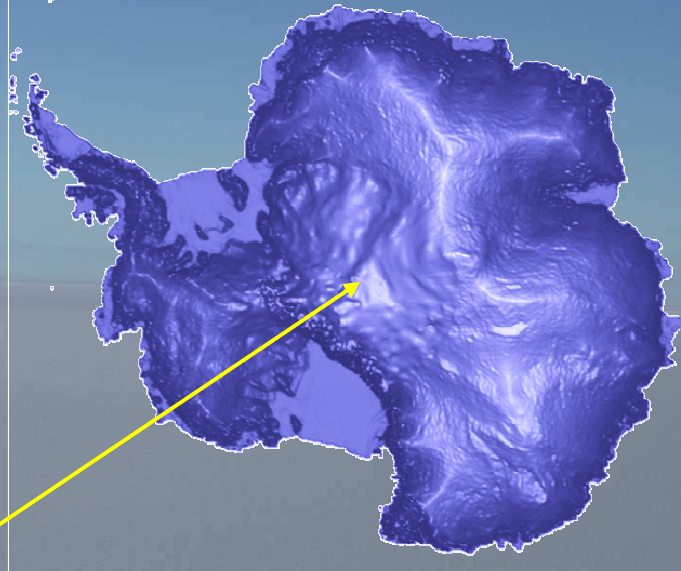
Detailed knowledge of large objects on site

PSL deployment and connection



Astronomie neutrino au pôle sud

AMANDA



AMANDA

Pole Sud

Dome

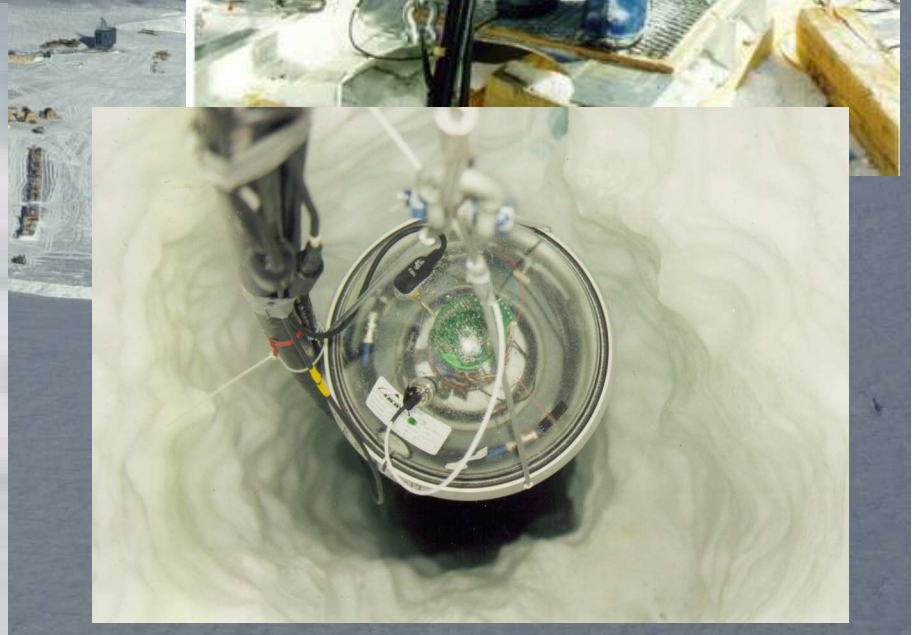
road to work

Summer camp

1500 m

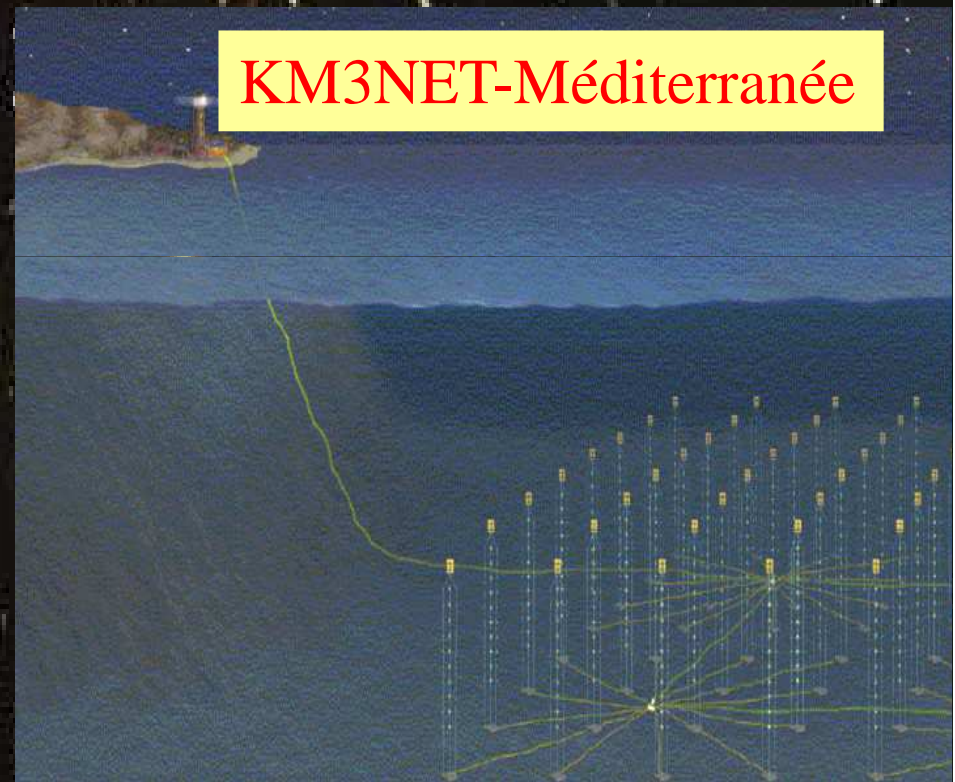
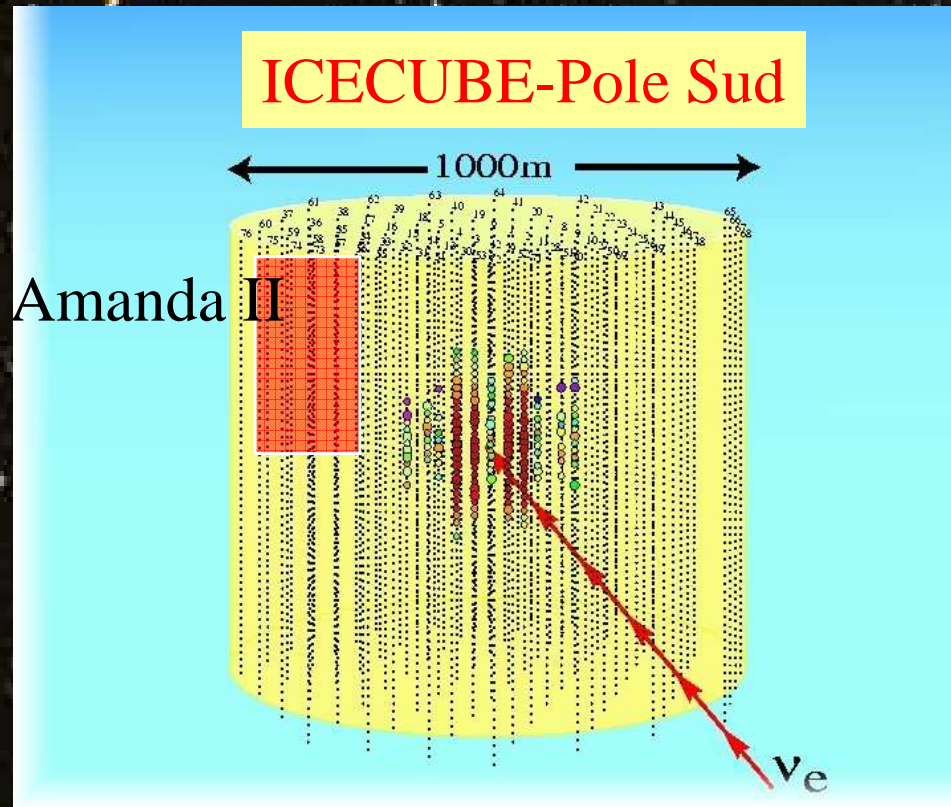
2000 m

[not to scale]



Prochaine Génération: KM3

Vers les plus grandes statistiques





Ondes Gravitationnelles



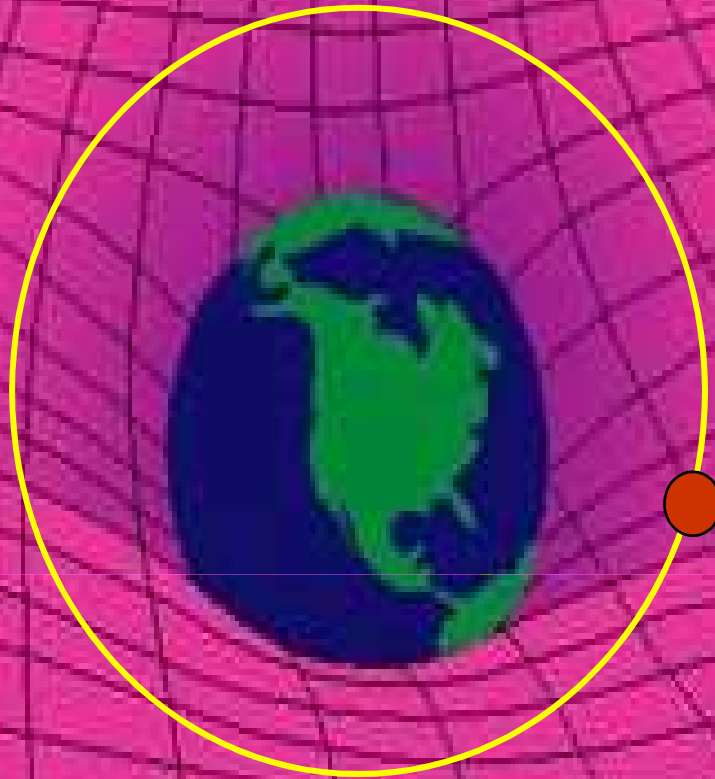
Relativité Générale

les idées principales

$$G_{\mu\nu} = 8\pi T_{\mu\nu}$$

- **La gravité n'est pas une force, mais une propriété de l'espace-temps**
- **Les concentrations de masse ou d'énergie déforment (courbent) l'espace-temps**
- **Les objets suivent le plus court chemin (géodésique) dans cet espace-temps courbé: la trajectoire est la même pour tous les objets**

Einstein



Equation d'Einstein:

La matière indique comment l'espace se courbe.

La géométrie indique comment la matière se déplace.

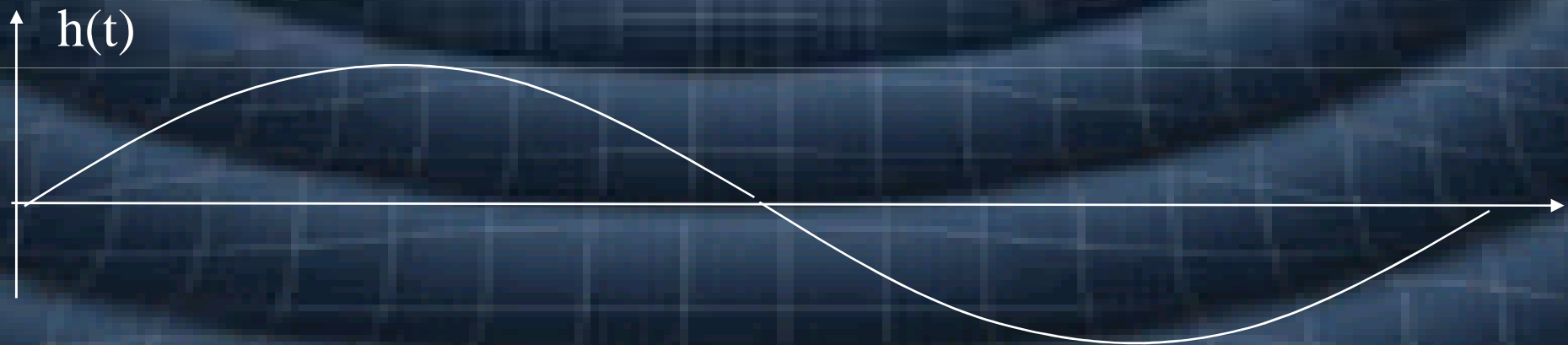
Ondes gravitationnelles



- *Masses en mouvement => variation de courbure*
- *Propagation comme une onde à la surface de l'eau*

Une onde gravitationnelle propage une perturbation locale de courbure de l'espace-temps

Effet d'une onde gravitationnelle sur un cercle test



La déformation relative $\Delta L/L$ est égale à leur amplitude h

Prédictions: $h \approx 10^{-21}$ pour une source astrophysique à 10 Mpc.

Une preuve indirecte : PSR 1913+16

(Hulse & Taylor, Nobel'93)

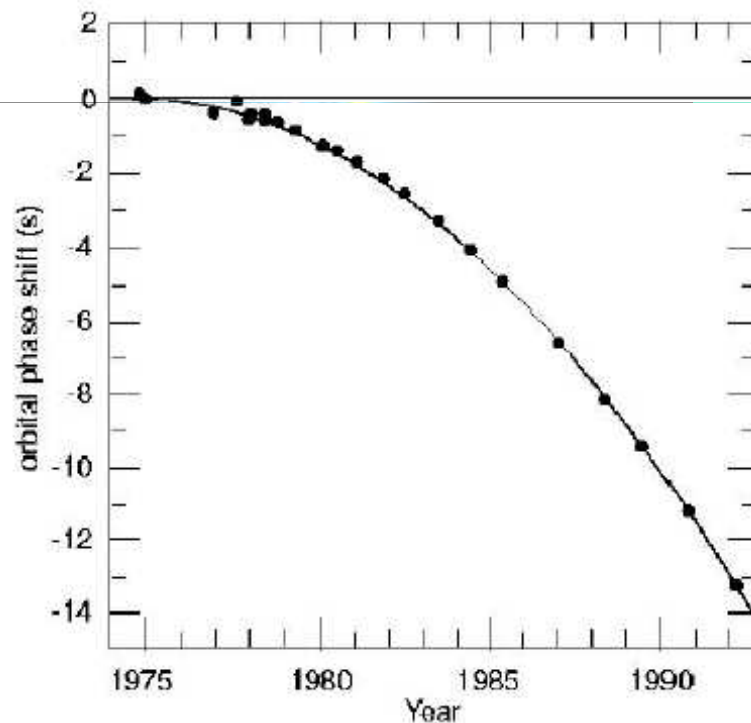
PSR 1913+16 : pulsar binaire (couple de 2 étoiles à neutrons)

⇒ tests de la gravitation en champ fort et en régime dynamique

Perte d'énergie par émission d'OG : la période orbitale diminue

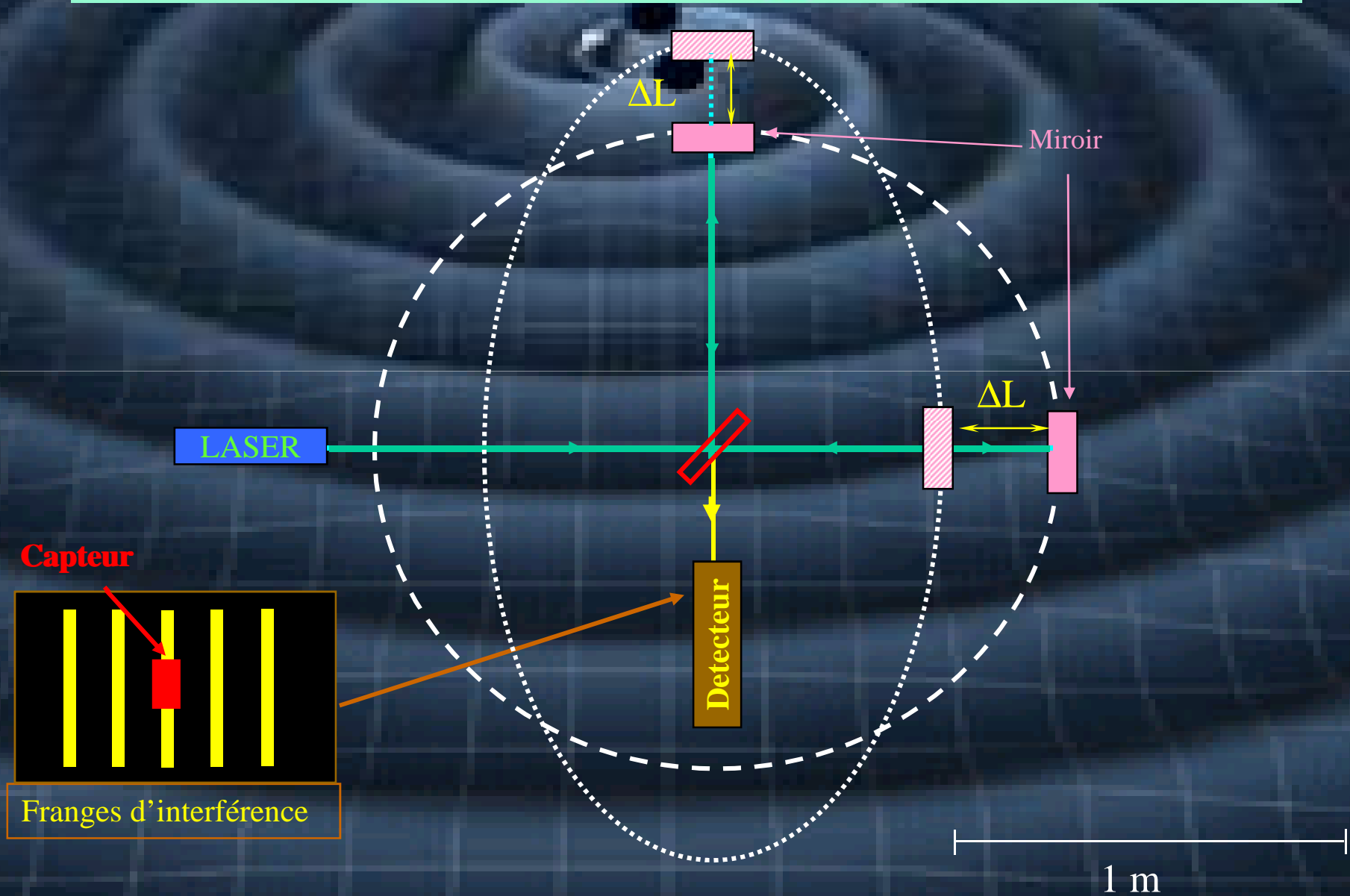
(Damour-Deruelle)

- séparation $\sim 10^6$ km
- diminution de 3mm/orbite de 8h
- observation pendant 20 ans

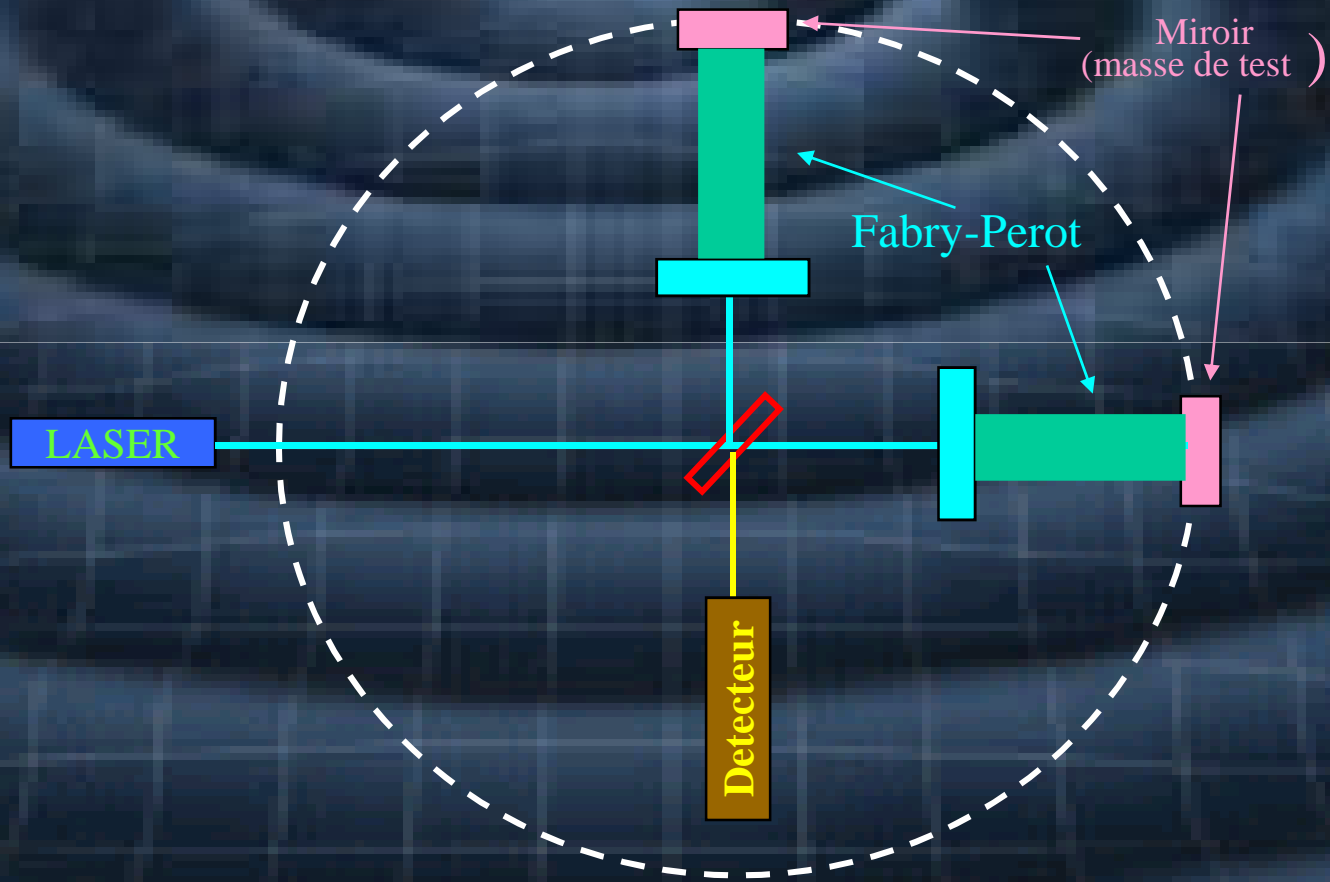


Les ondes gravitationnelles existent !

Interféromètre de Michelson bien adapté au problème



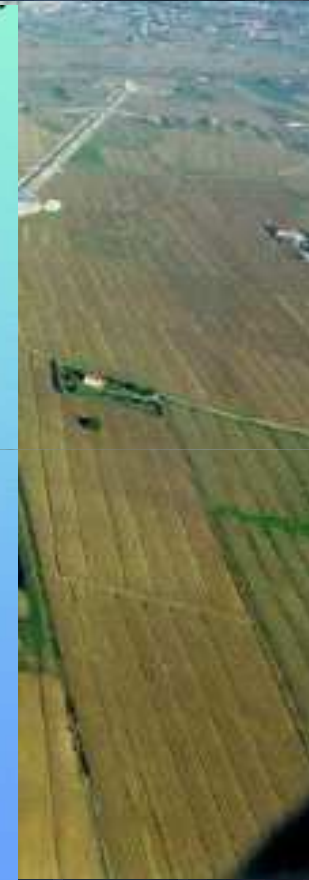
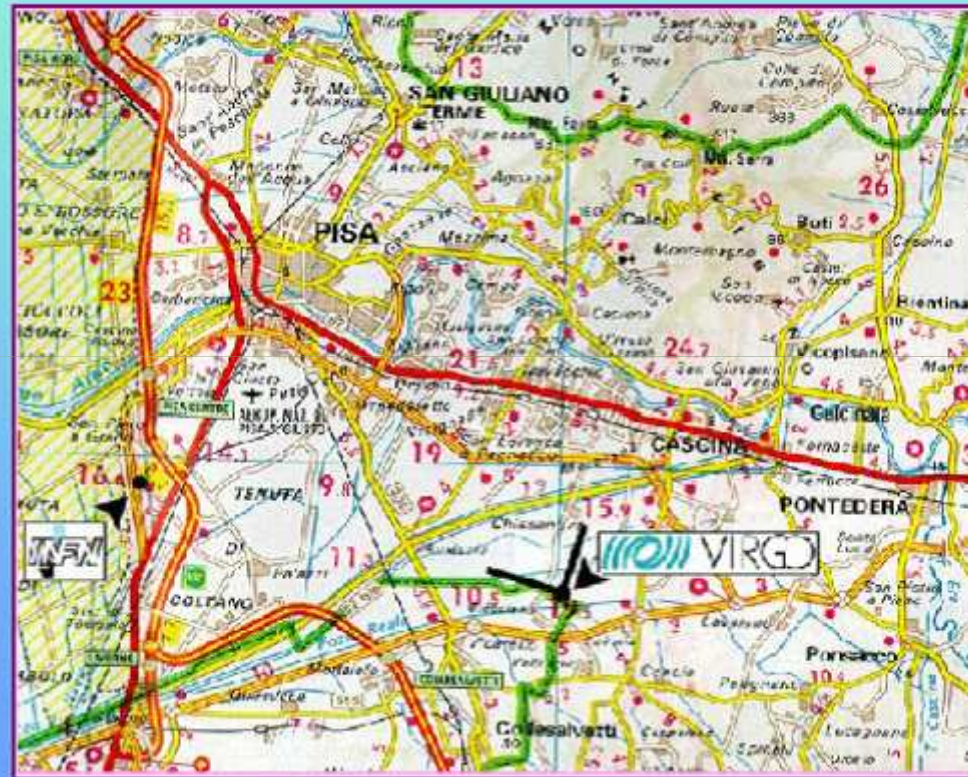
Amélioration du principe de base



3 km

VIRGO

Site : Cascina - près de Pise



Sensibilité visée : $\tilde{h} \approx 10^{-21} / \sqrt{\text{Hz}} @ 10\text{Hz}$ et $\tilde{h} \approx 3 \times 10^{-23} / \sqrt{\text{Hz}} @ 1\text{kHz}$

LIGO (USA)



4 km

2 km



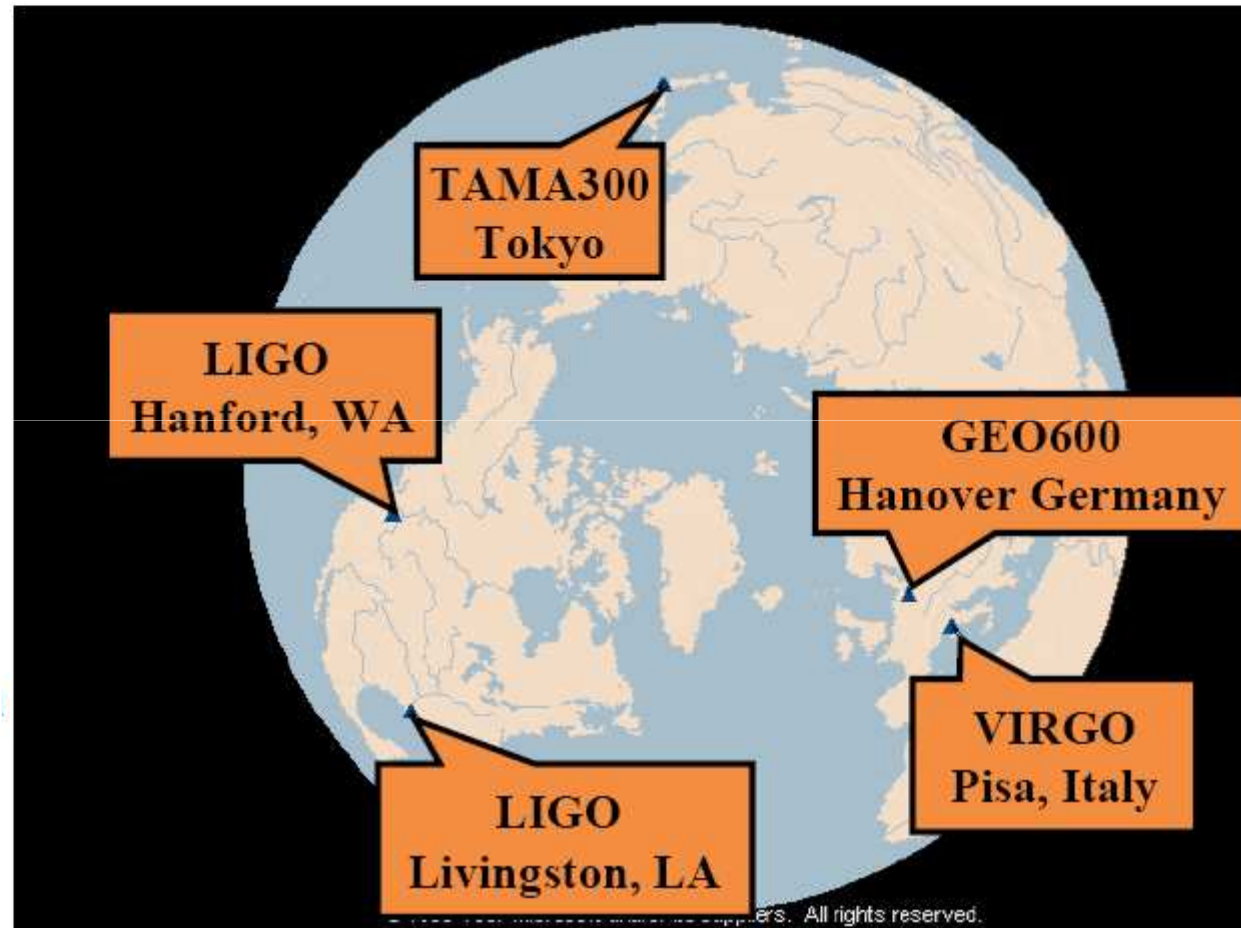
GEO600, Hanover Germany [UK, Germany]



TAMA300, Tokyo [Japan]

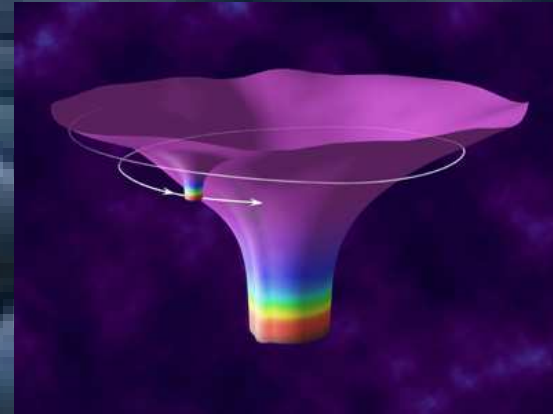
Collaboration internationale

- Confirmation des signaux
- Direction : triangulation



Sources

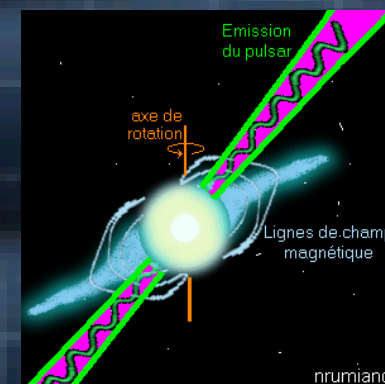
- Coalescences binaires



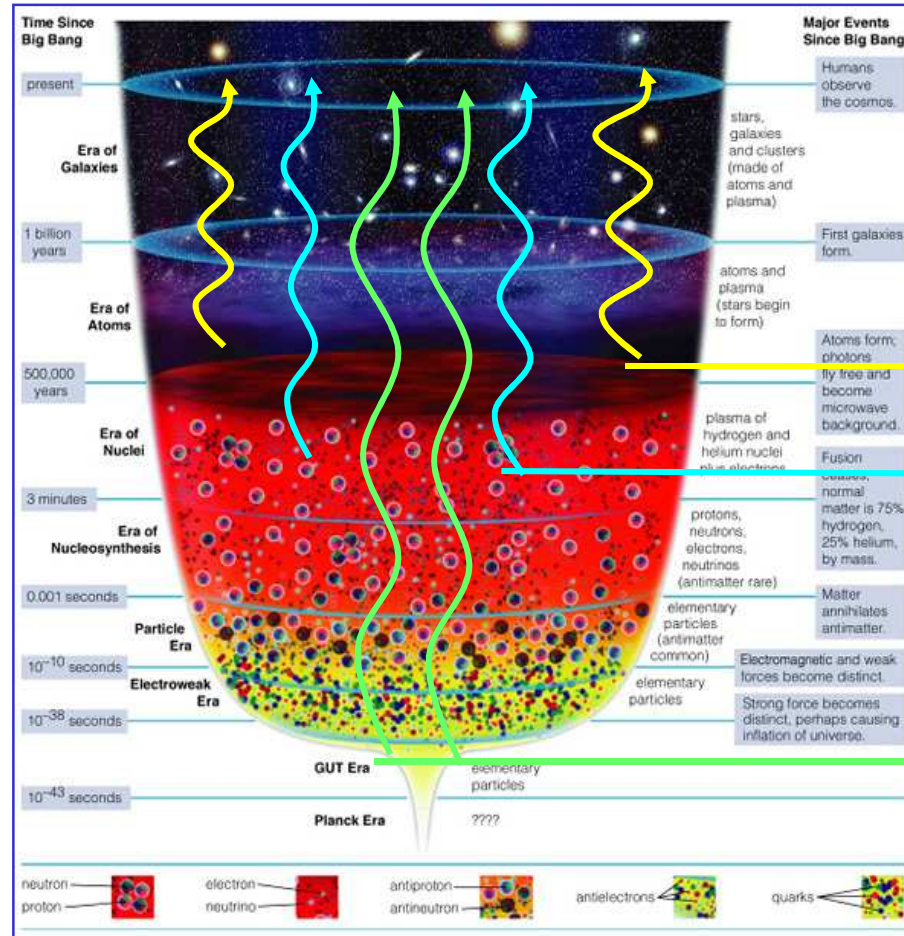
- Supernovae



- Pulsars asymétriques



• Fond Stochastique



OEM (CMB)

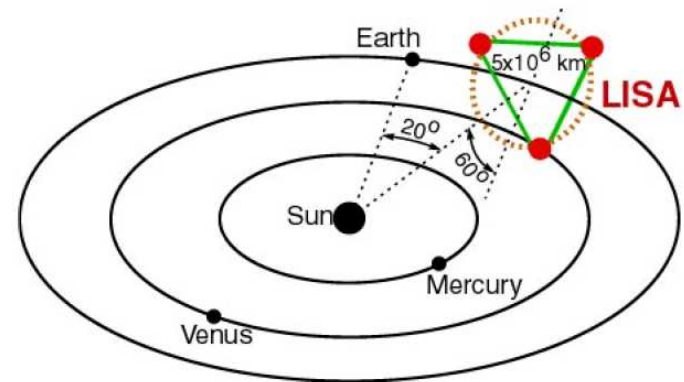
Neutrinos

OG

Le Big Bang

LISA

LISA Configuration

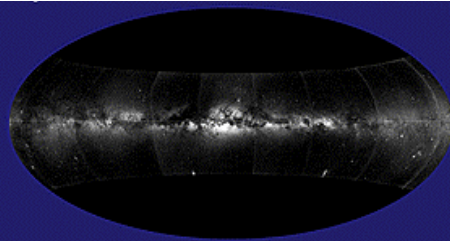


- Longueur des bras : 5 millions de km
- Précision position : 10^{-9} cm

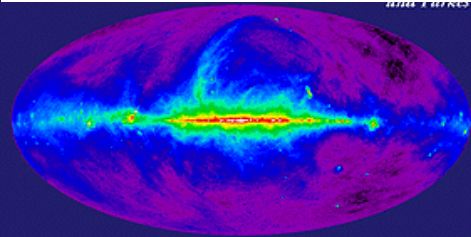


Conclusion

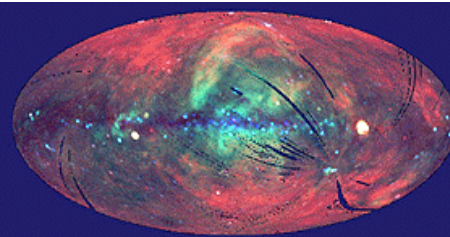
Visible



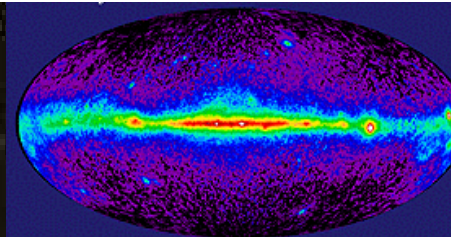
Radio



Rayons x

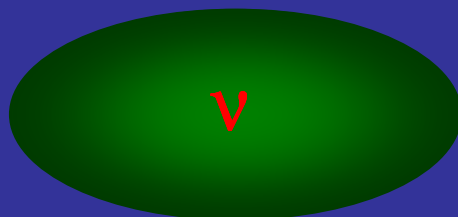


Rayons γ

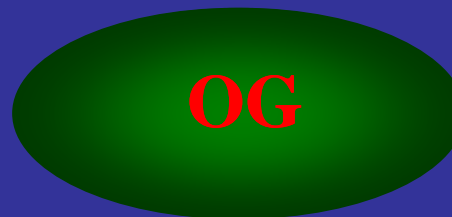


XX siècle

Neutrino

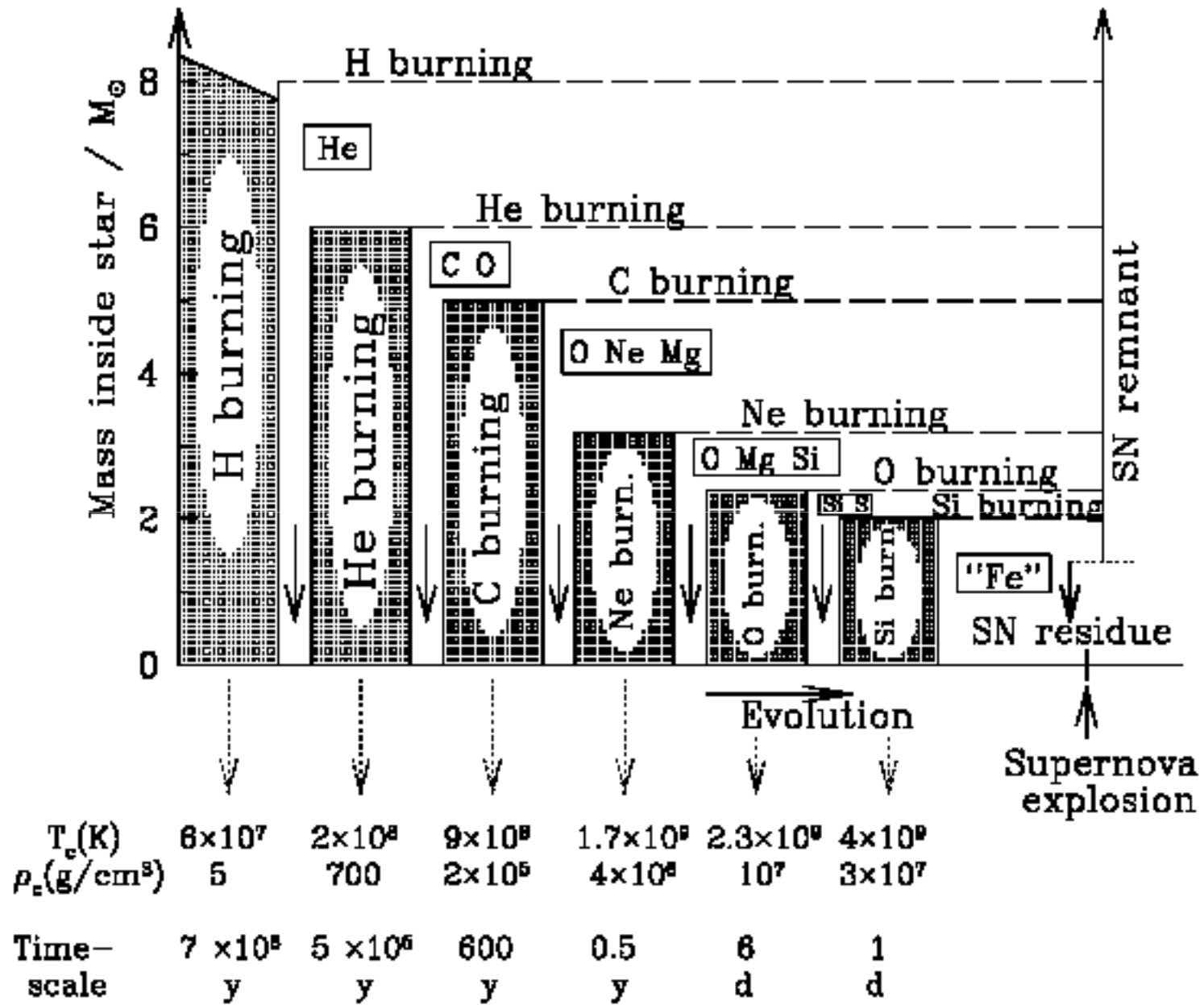


Ondes Gravitationnelles

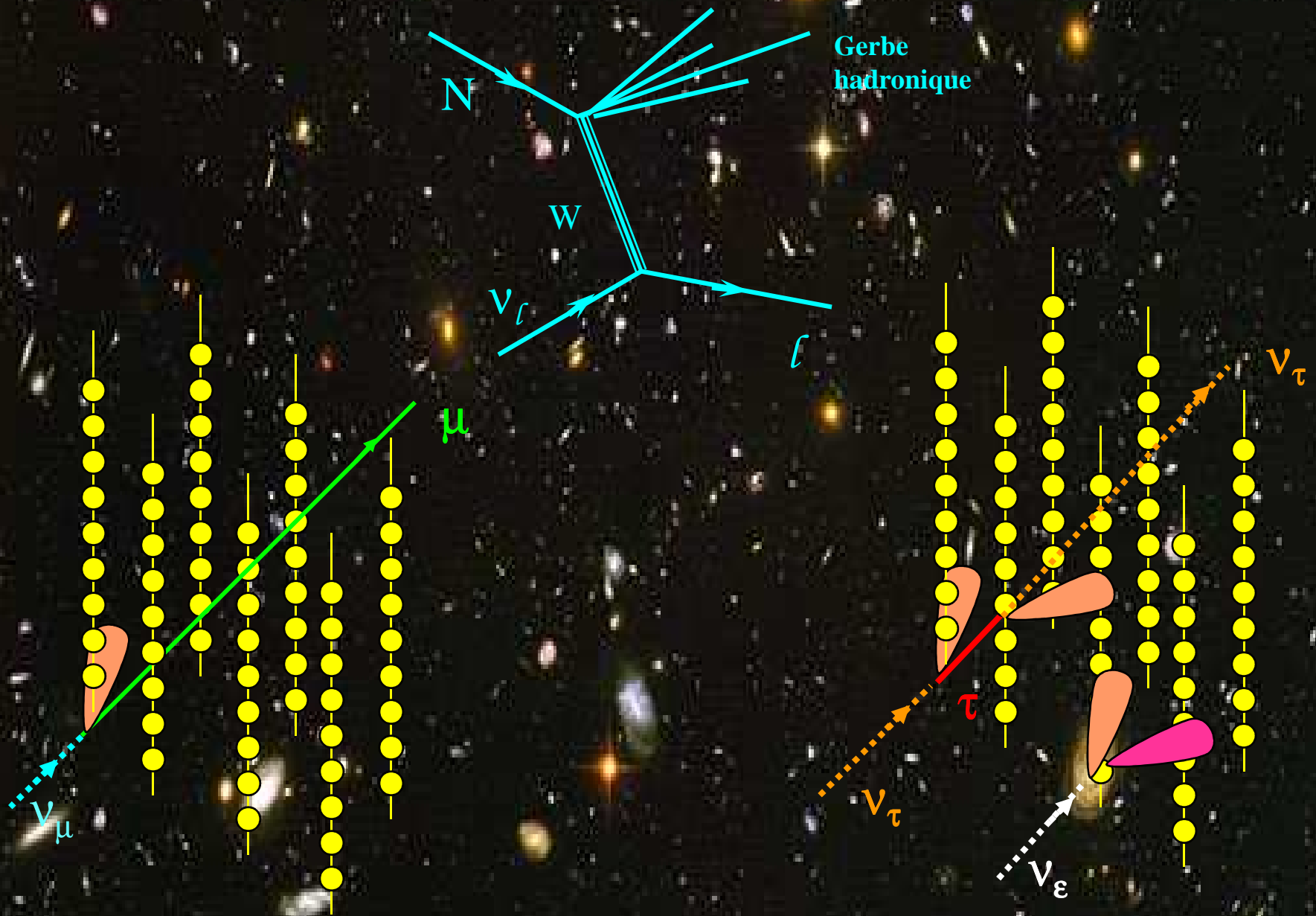


XXI siècle

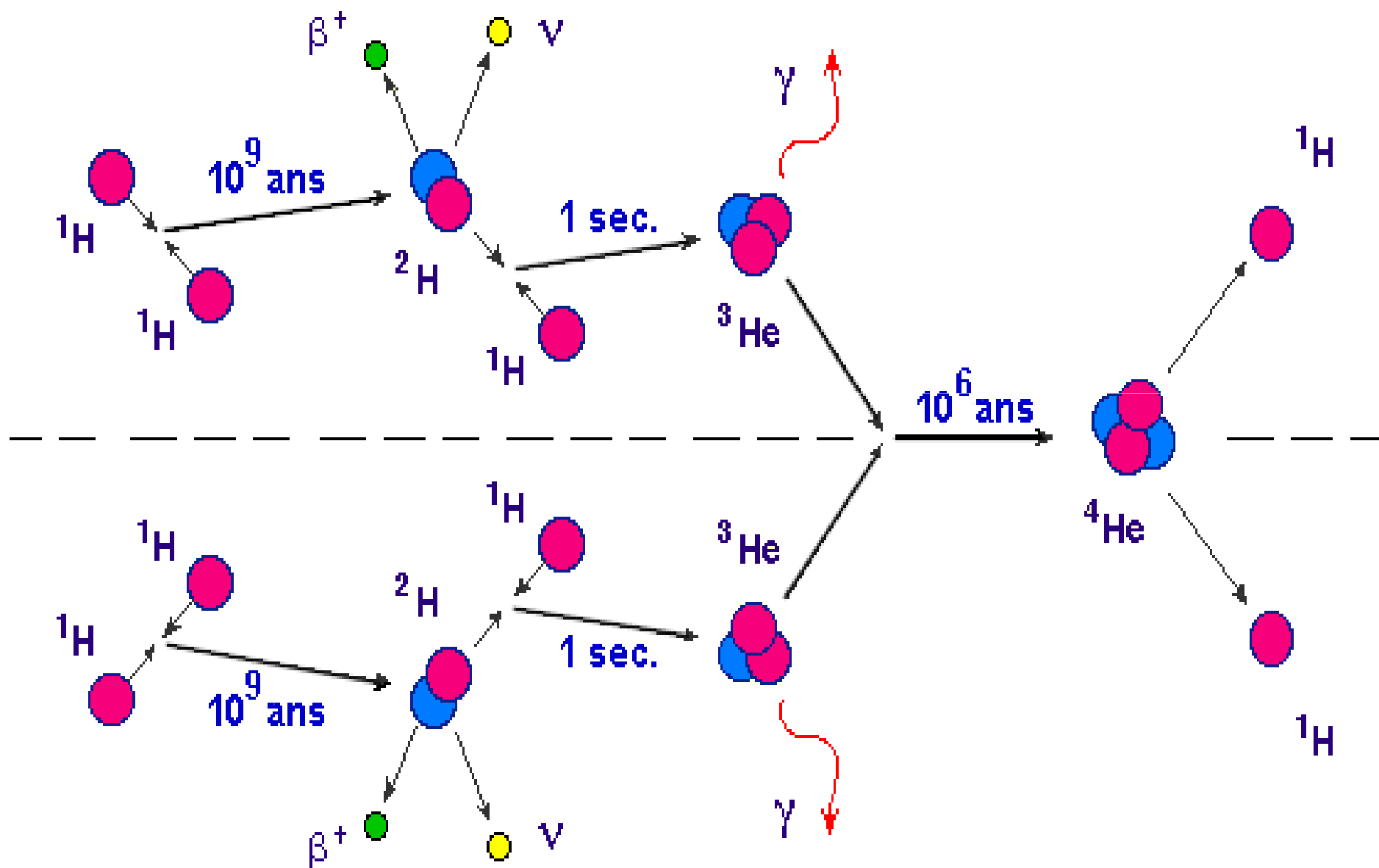




Différents type d'événements

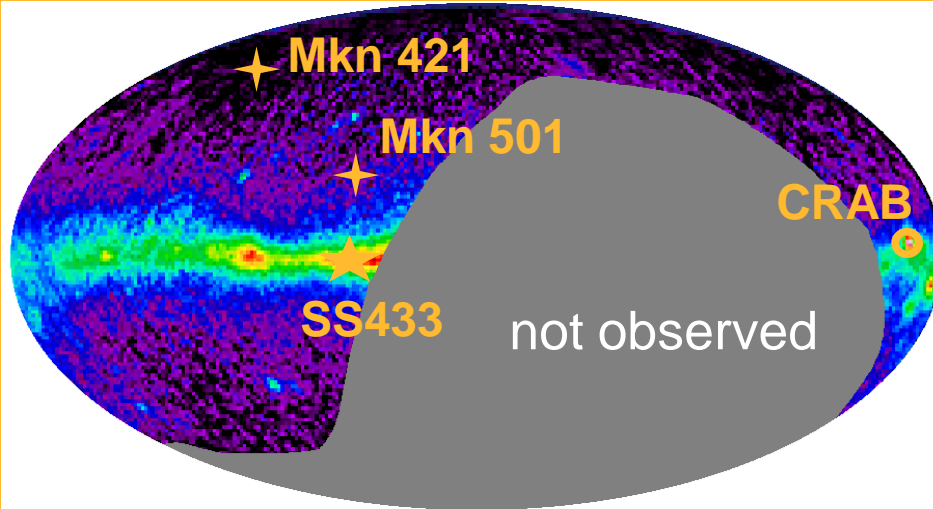


Dépendance en temps

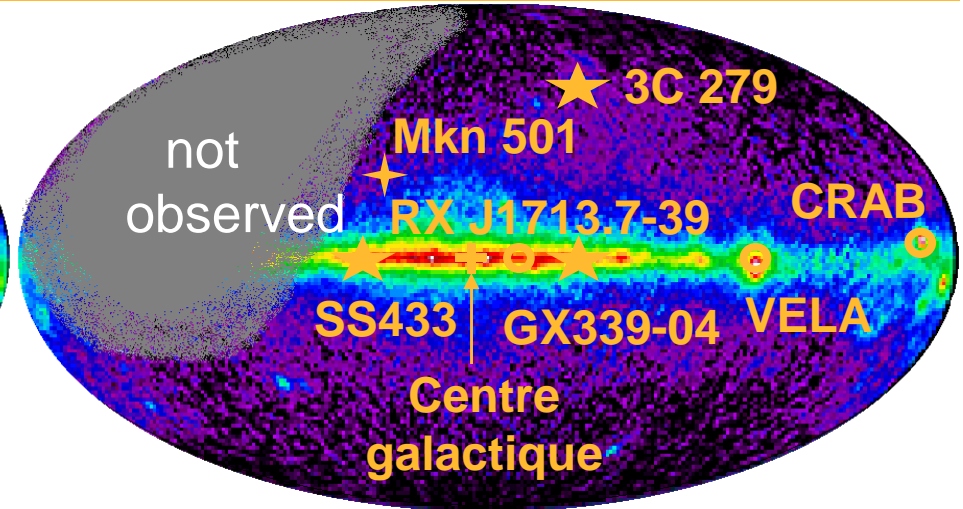


Most promising sources

AMANDA



ANTARES



EGRET Source Type	number of sources	seen by Antares	seen by Amanda
All	271	89%	43%
AGN	94	86%	52%
Pulsars	5	100%	40%
Unidentified Gal. Plane	55	93%	36%
Unidentified off Gal. Plane	116	90%	40%

Microquasars:

SS433 →

GX339 →

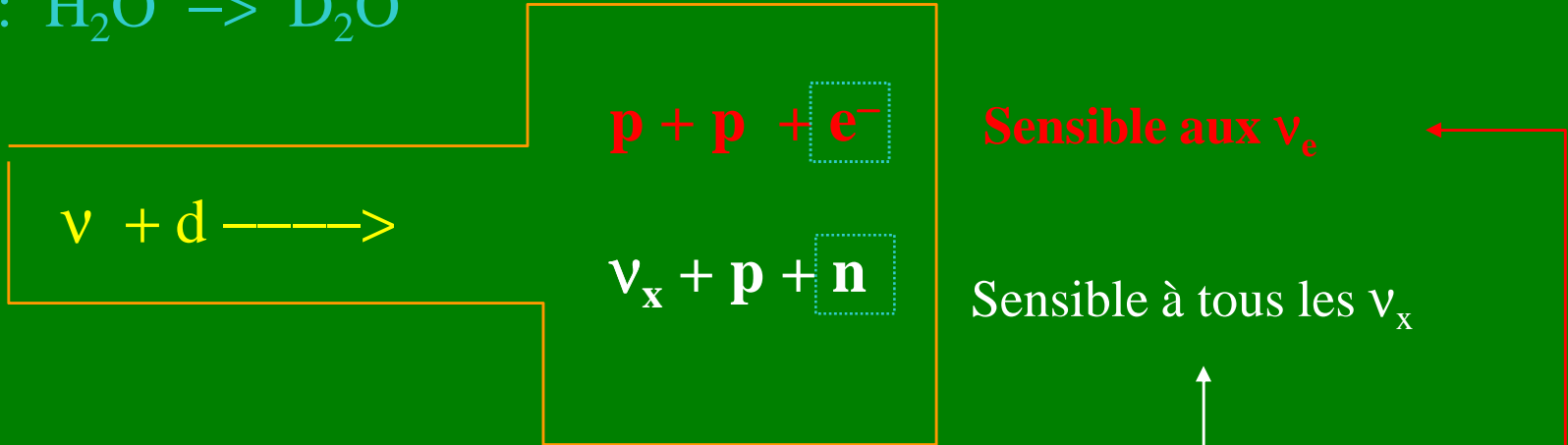
	Signal	atm. nu's
Antares 1 year	4.3	0.3
Amanda 1 year (*)	2.0	4.4
Amanda observed (*)	0	2.4
Antares 1 year	6.5	0.3
Amanda	invisible	—

Predictions. Galactic sources

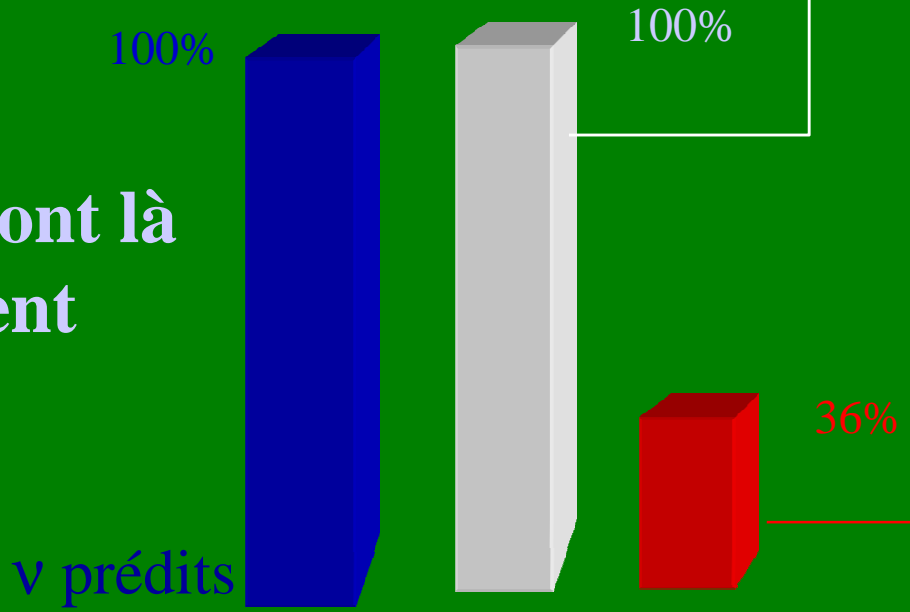
Source Type	Distance (kpc)	E_ν (GeV)	$N_{\nu\mu}$ ($\text{km}^{-2} \text{yr}^{-1}$)	Ref.
Supernovae Shocks pulsars	10	$< \sim 10^3$ $\sim 10^2 - 10^6$ $\sim 10^5 - 10^8$ $\sim 10 - 10^8$	~ 100 50 – 1000 $\sim 100 - 1000$ $< \sim 1000$	Waxman & Loeb 2001 Protheroe et al. 1998 Beall & Bednarek 2002 Nagataki 2004
Plerions Crab	0.5 – 4.4 2	$< 10^3 - 10^5$ $\sim 10^3 - 5 \cdot 10^5$ $\sim 10^3 - 5 \cdot 10^5$ $\sim 10^3 - 5 \cdot 10^5$ 10–10 ⁶	$\sim 1 - 12$ $< \sim 1$ a few ~ 1 $\sim 4 - 14$	Guetta & Amatto 2003 Bednarek 2003 Bednarek & Protheroe 1997 Bednarek 2003 Amato et al. 2003
Shell SNRs SNR RX J1713.7-3946 Sgr A East	6 8	$< \sim 10^4$ $< \sim 10^5$	~ 40 ~ 140	Alvarez-Muñiz & Halzen 2002
Pulsars + Clouds Galactic Centre Cygnus OB2	8 1.7	$10^4 - 10^7$ $> \sim 10^3$ $10^4 - 10^7$ $< \sim 10^6$	$\sim 2 - 30$ a few ~ 0.5 ~ 4	Bednarek 2002 Torres et al. 2004 Bednarek 2003 Anchordoqui et al. 2003
Binary systems A0535+26	2.6	$3 \cdot 10^2 - 10^3$	a few	Anchordoqui et al. 2003
Microquasars	1 – 10	$10^3 - 10^5$	1 – 300	Distefano et al. 2002
Magnetars	3 – 16	$< \sim 10^5$	1.7 (0.1/ $\Delta\Omega$) (5/d ²)	Zhang et al. 2003

La détection de neutrinos dans SNO

SNO : $\text{H}_2\text{O} \rightarrow \text{D}_2\text{O}$



Tous le neutrinos sont là
mais les ν_e manquent

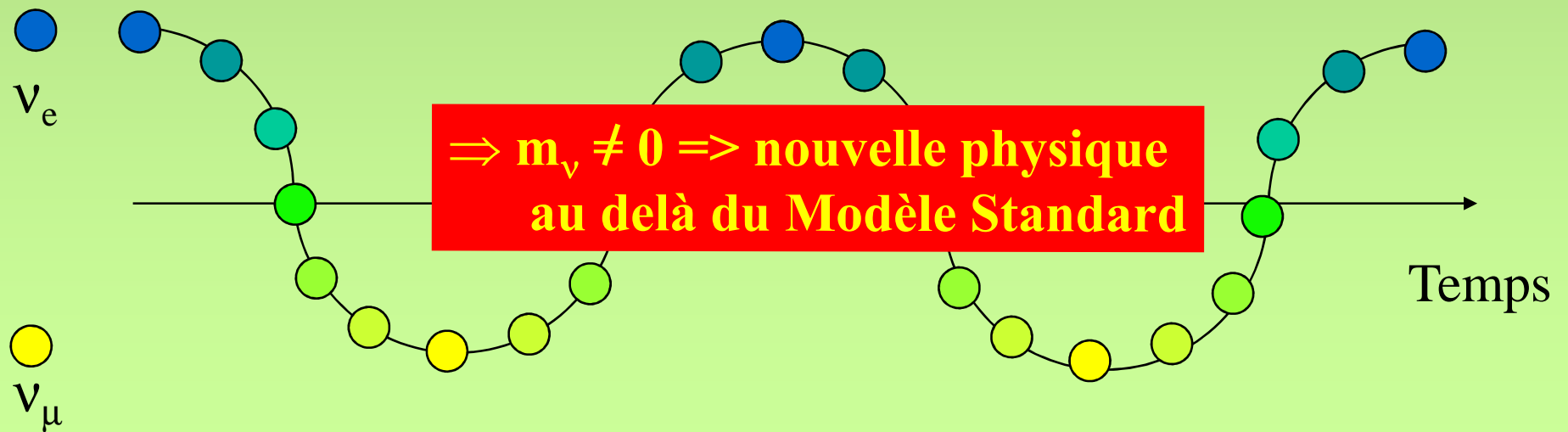


Où sont passés les neutrinos ?

Oscillations des neutrinos

Si le neutrino possède une masse il peut changer de saveur dans le temps

Exemple très chromatique de l'oscillation de neutrinos entre deux saveurs



La période dépend de l'énergie

Encore plus sur les étoiles

Etoile : 75% H et 25% He

Fusion "lente" de l'hydrogene



$3 {}^4\text{He} \rightarrow {}^{12}\text{C} + 7.656 \text{ MeV}$: **Geante Rouge** --> Naine Blanche

Si plus de 8 masse solaire



Au delà, réactions endothermiques => fin du combustible

Une expérience dans une météorite

Détecteur SNO

2092 m to Surface

18 m Diameter
Support Structure
for 9500 PMTs,
60% coverage

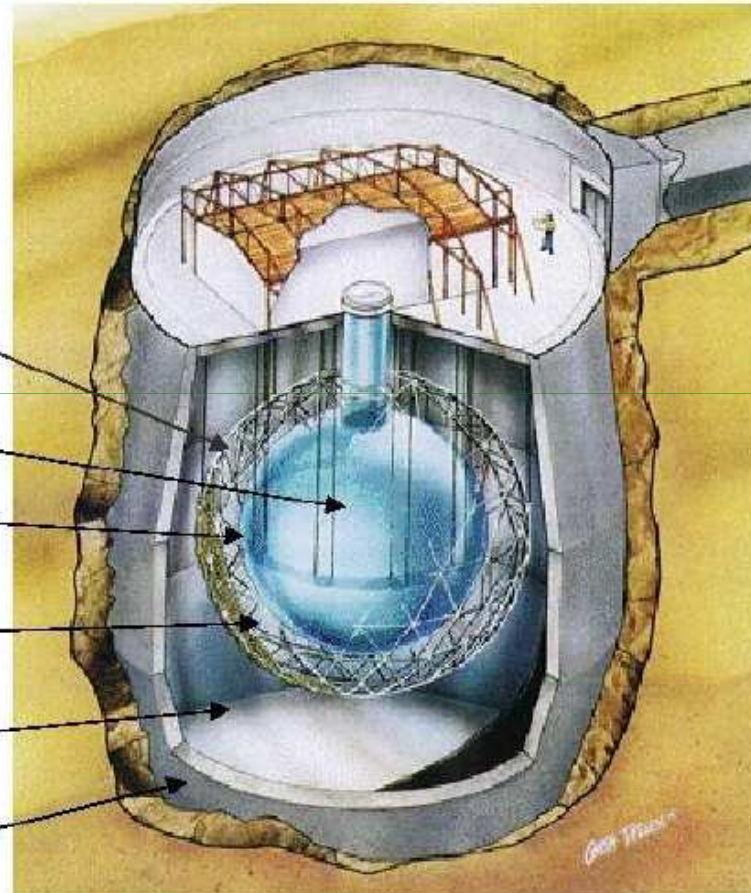
1000 Tonnes D_2O

12 m Diameter
Acrylic Vessel

1700 Tonnes Inner
Shielding H_2O

5300 Tonnes Outer
Shield H_2O

Urylon Liner and
Radon Seal



Départ 1999

Oser ICHEP 2002

Origine des neutrinos haute énergie

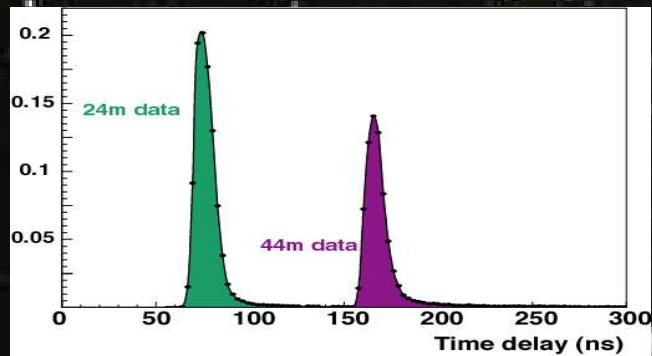
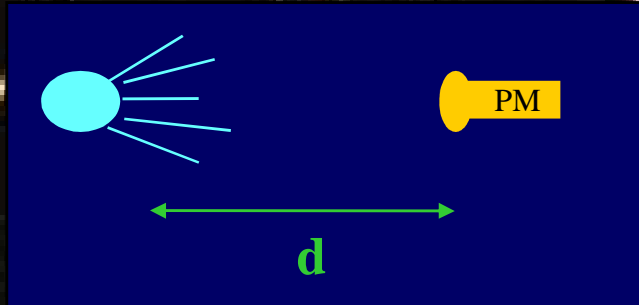
$$p + A \longrightarrow \pi^{+-} + \dots$$

$$\pi^{+-} \longrightarrow \bar{\nu}_{\mu} + \mu$$

$$\mu \longrightarrow \nu_{\mu} + \nu_e + e$$

Evaluation du site

Transparence de l'eau

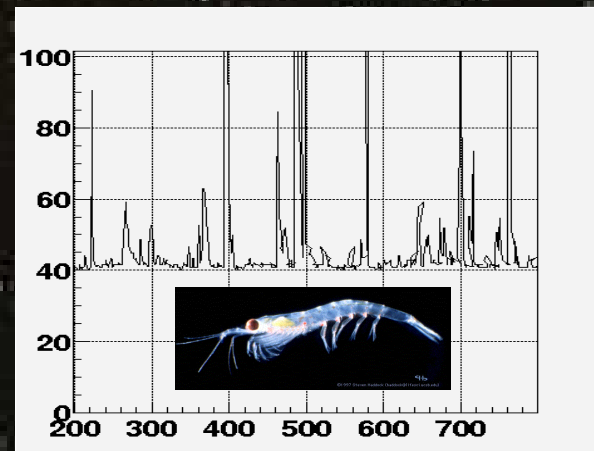
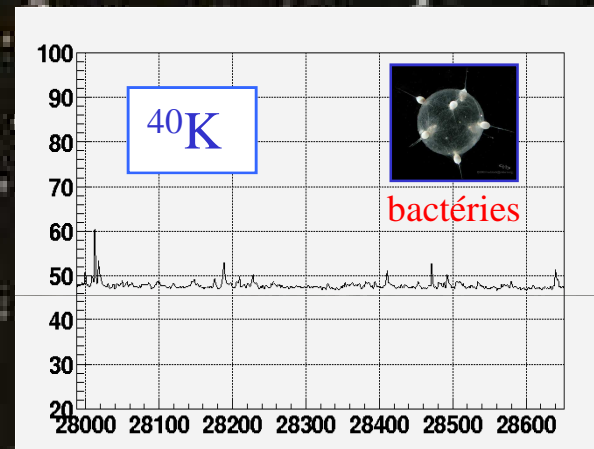


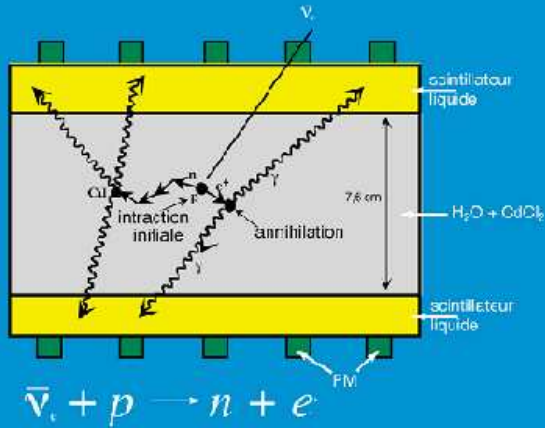
- **Lumière bleue (470 nm)**

$$\lambda_{\text{abs}} \sim 60 \pm 8 \text{ m}$$

$$\lambda_{\text{scat eff}} \sim 260 \text{ m}$$

Bioluminescence



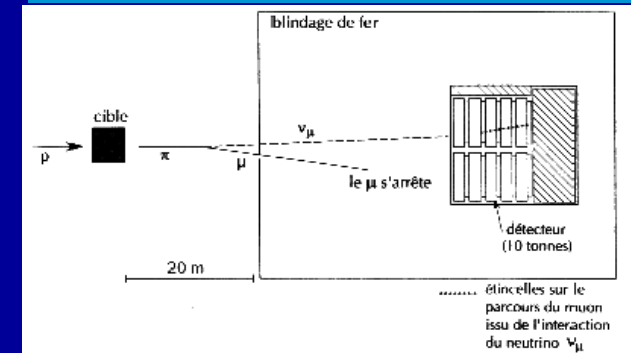


1957 : découverte du neutrino électronique

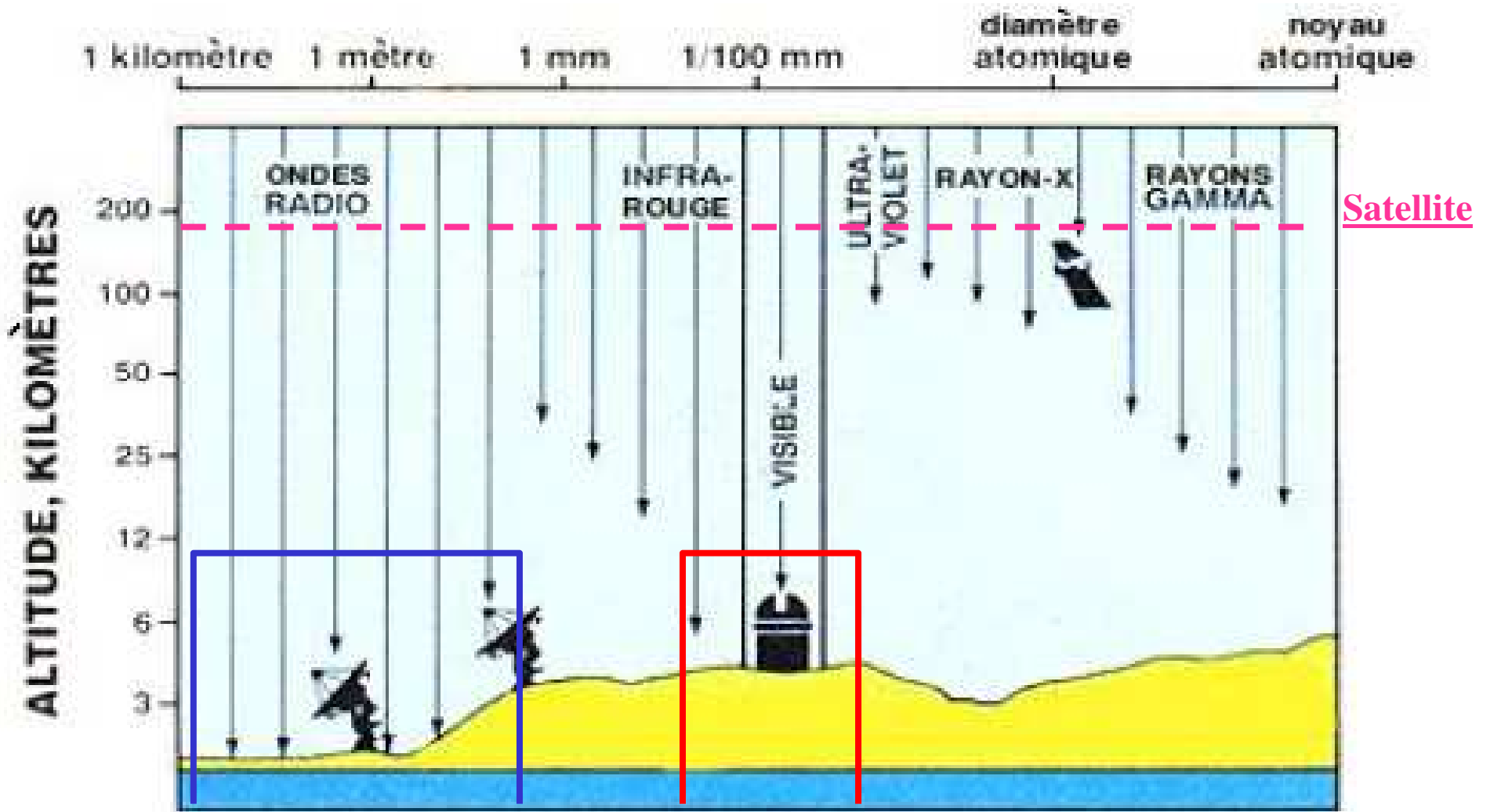
1963 : découverte du neutrino muonique



2000: découverte du neutrino de Tau Fermi Lab.

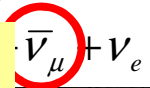
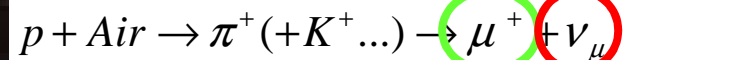


Le filtre atmosphérique

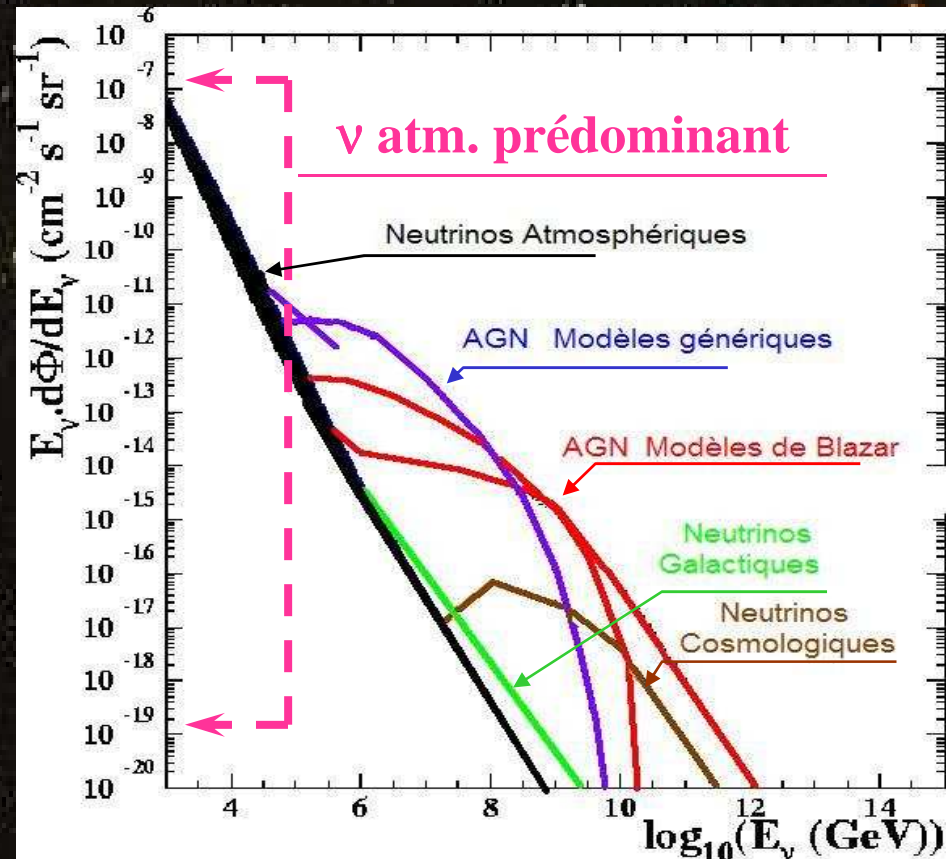
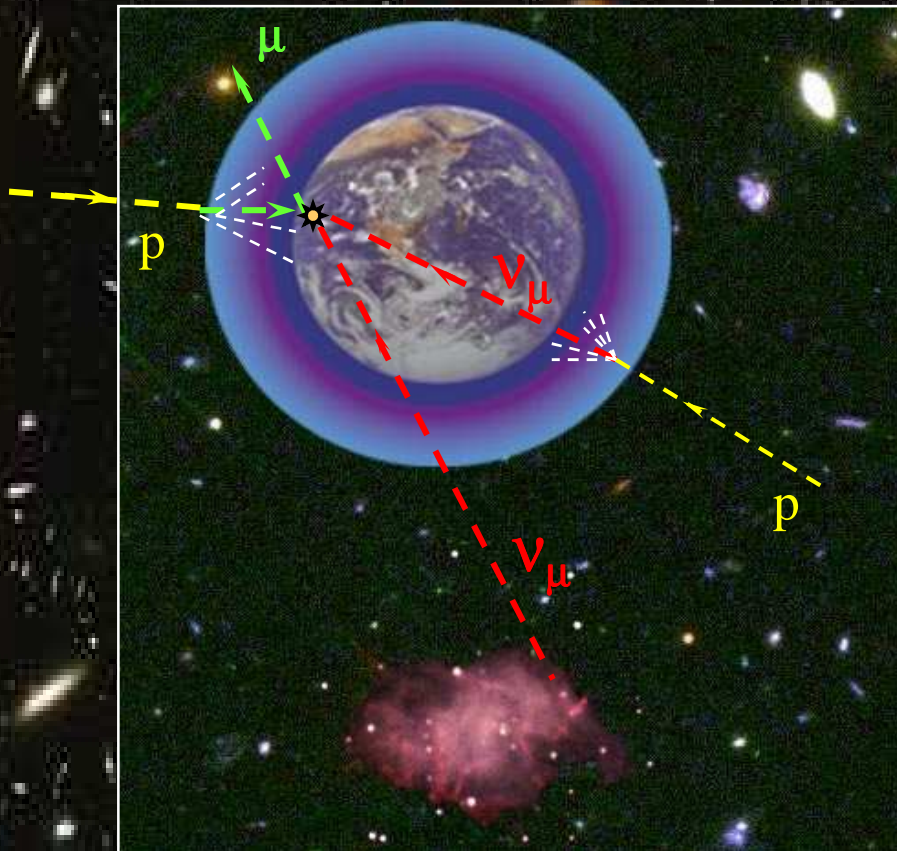


Bruit de fond physique

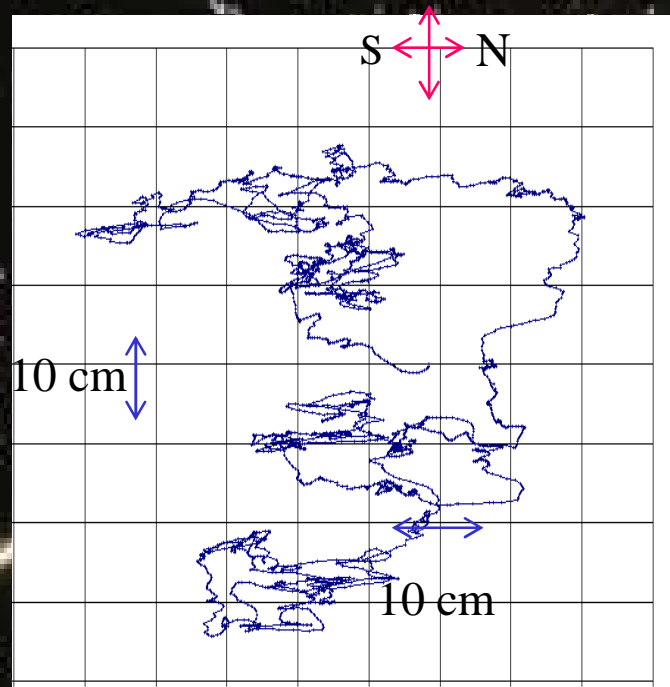
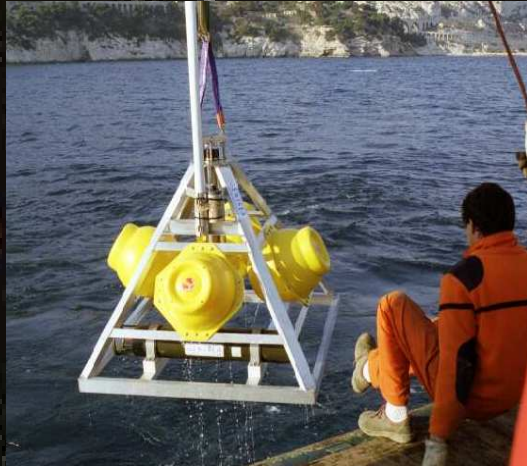
Le bruit de fond physique provient de l'interaction du rayonnement cosmique avec l'atmosphère.



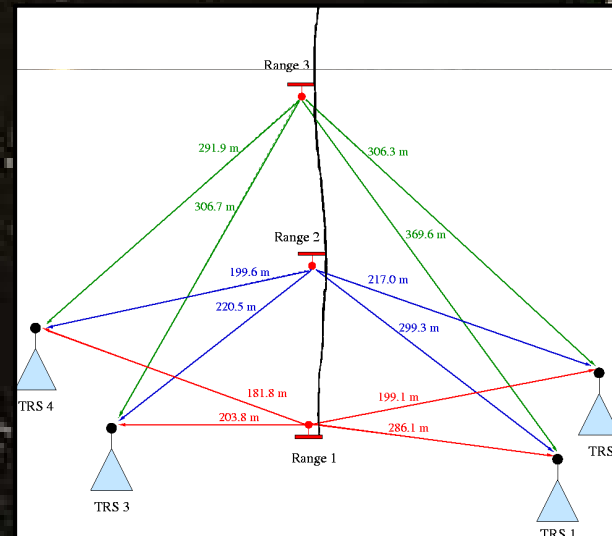
“Il faut regarder vers le bas et à haute énergie”



Positionnement de la ligne



Triangulation avec balise
acoustique et hydrophones
Précision ~5 cm



International Network of Bar Detectors

Now in Operation [~ 1000 Hz]



Louisiana State U.

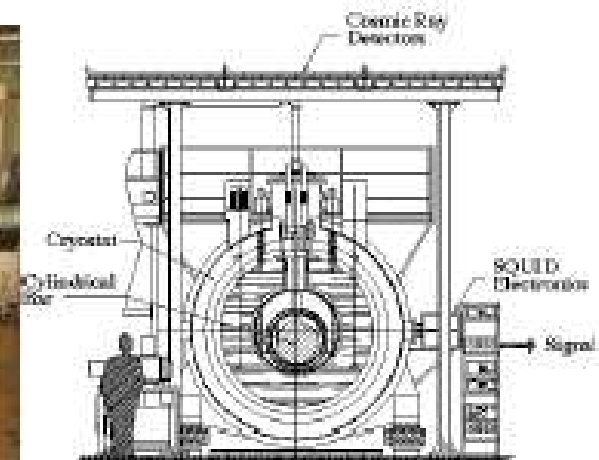


J. Weber

CERN - Explorer

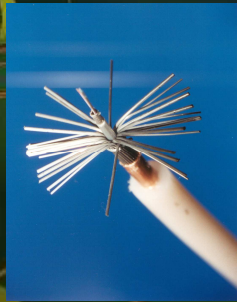
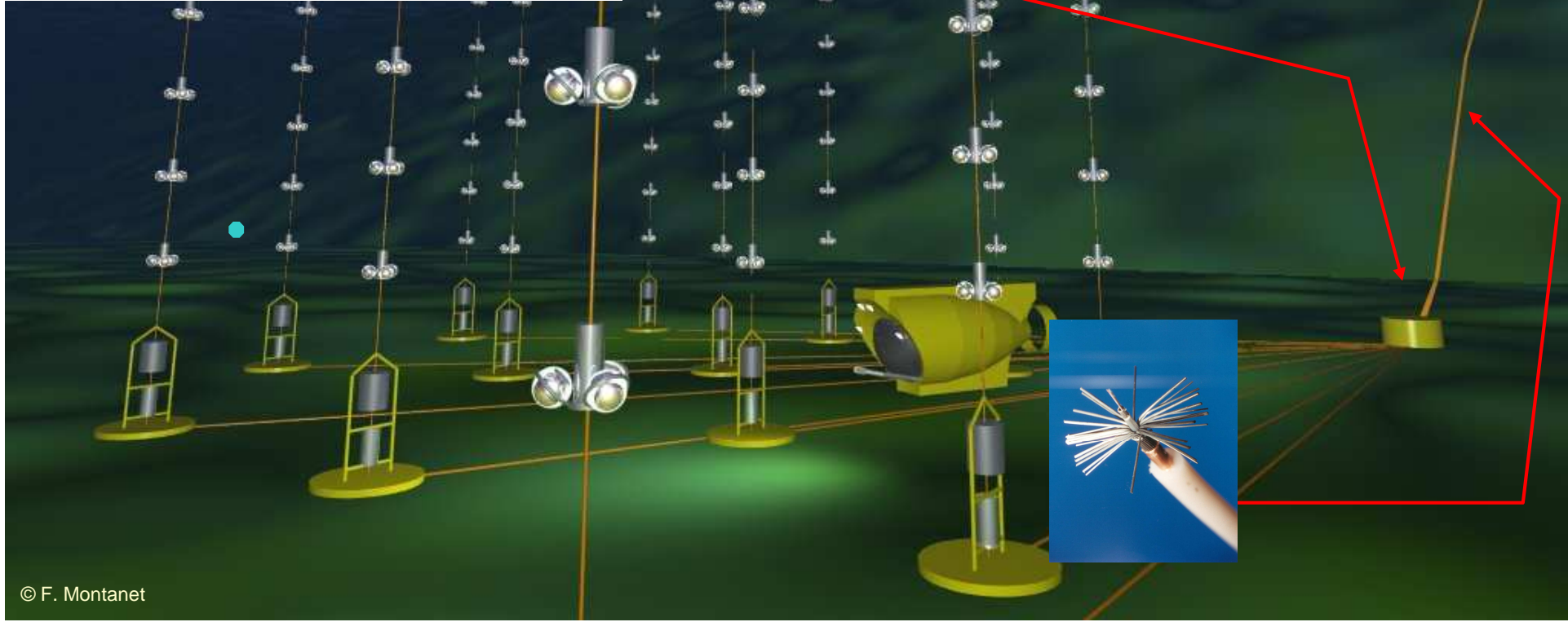
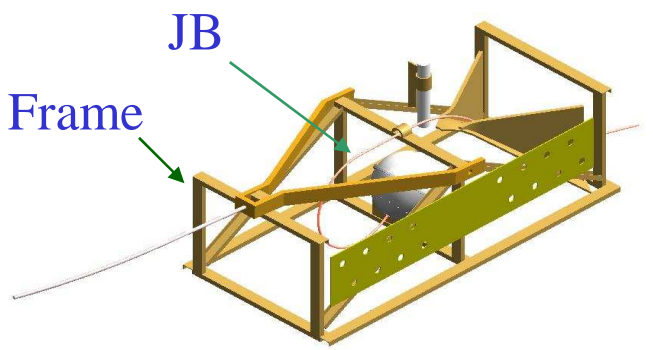


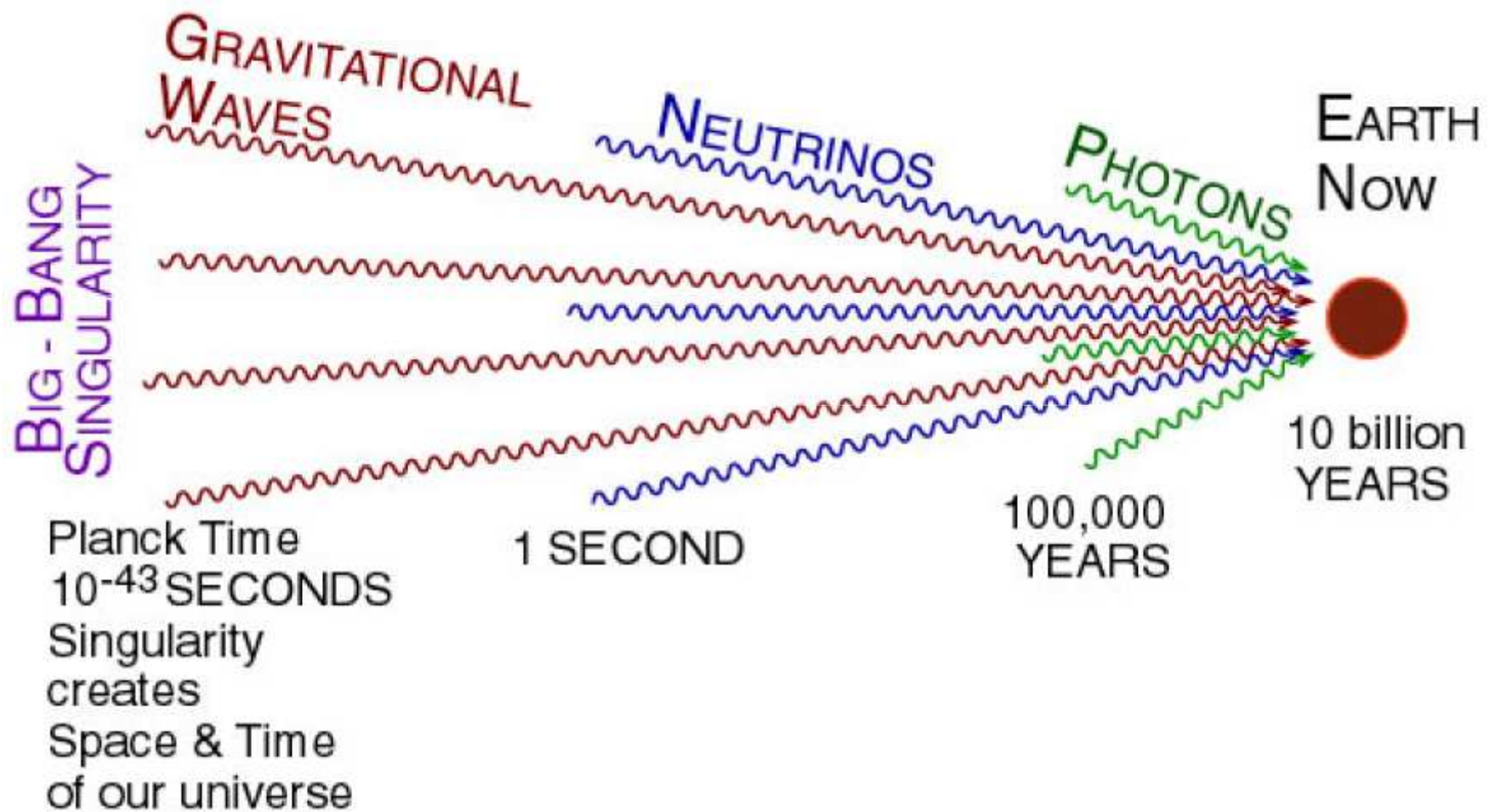
U. Padova - Auriga



U. Rome - Nautilus

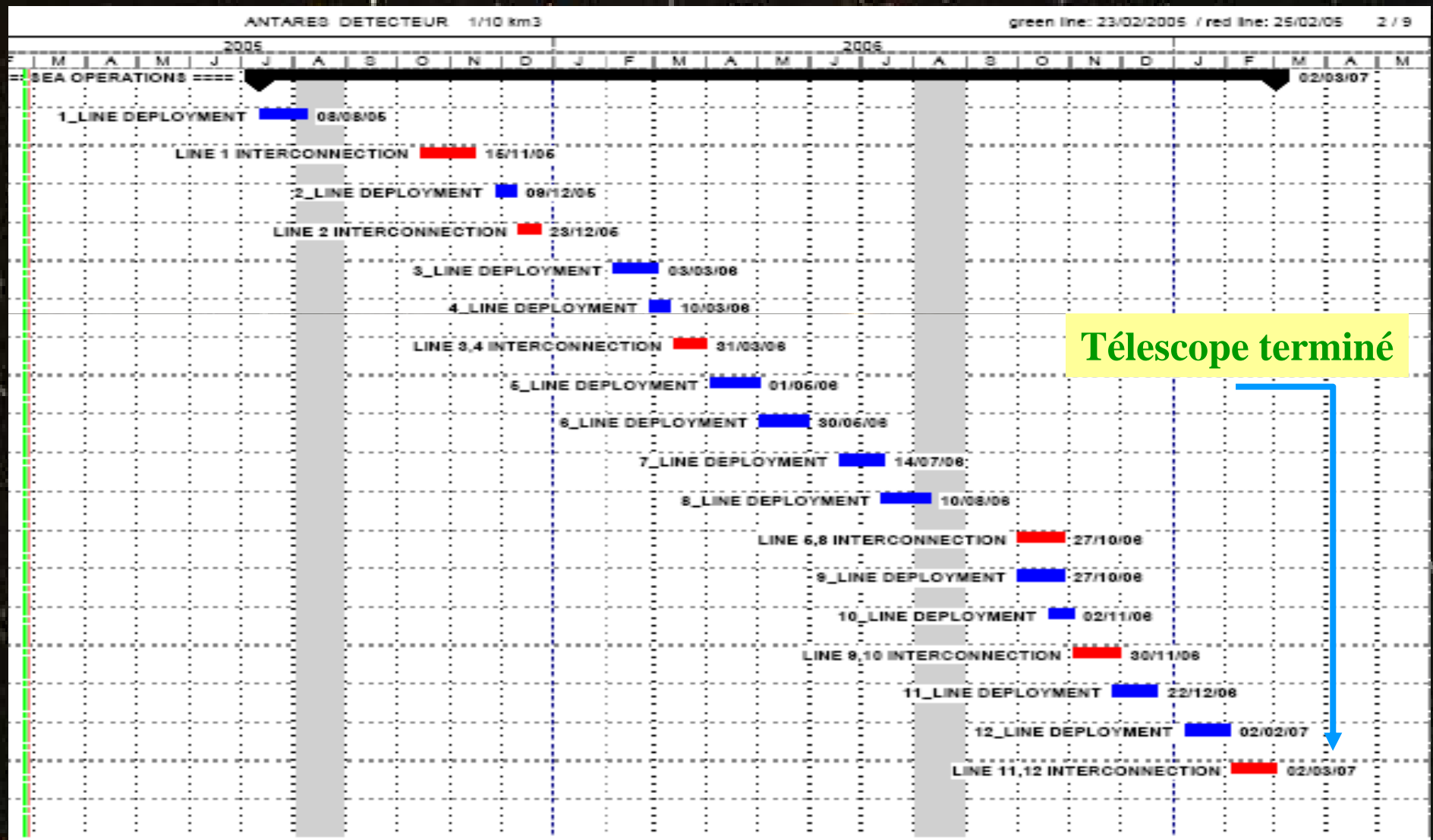
2000 - 2002





Avenir pour ANTARES

Juillet 2005 - 2007



ANTARES collaboration

1996 Collaboration formed



Sheffield
Leeds



NIKHEF
Amsterdam



Erlangen



ITEP
Moscow



IFREMER, Brest
DAPNIA, Saclay
IReS, Strasbourg
Mulhouse
CPPM, Marseille
IFREMER, Toulon
COM, Marseille
OCA, Nice



IFIC
Valencia

Pisa

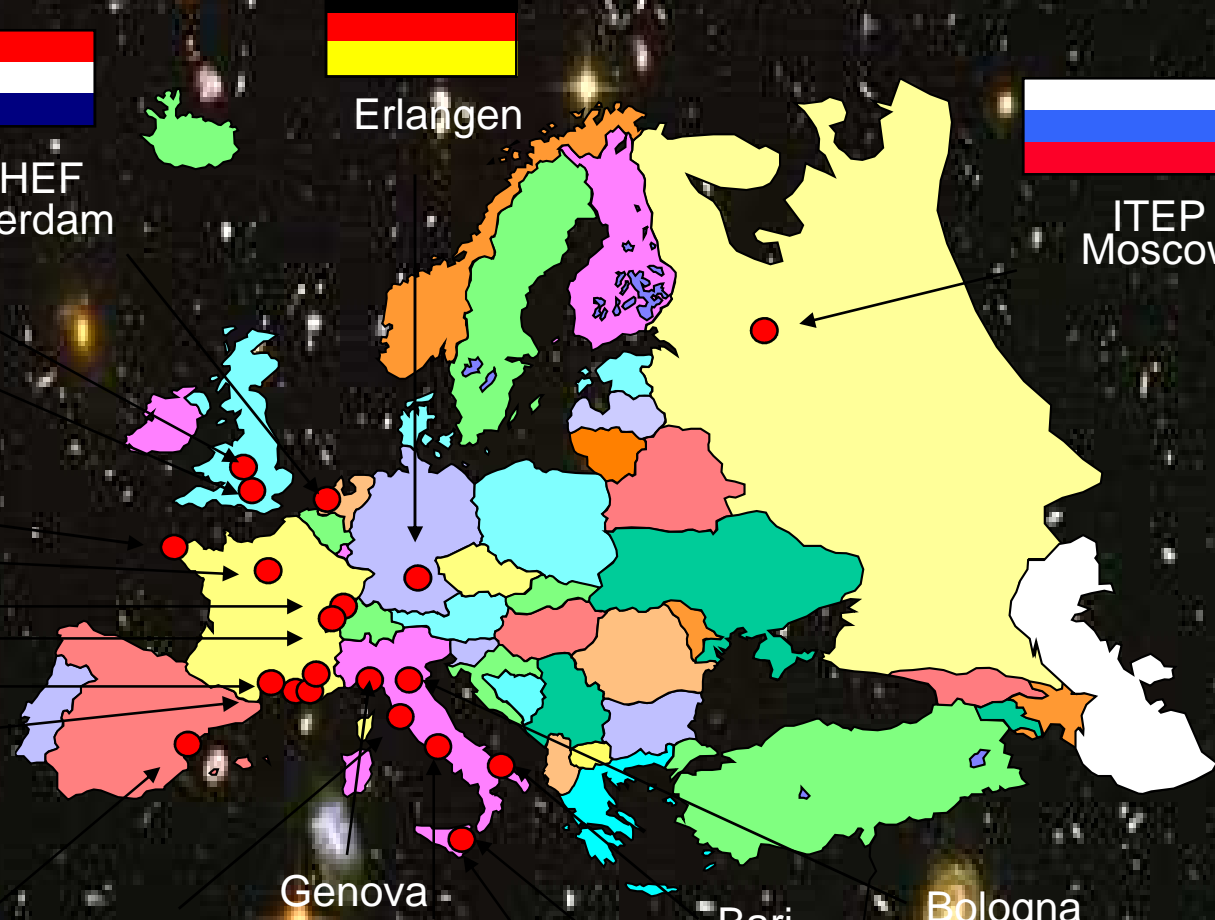
Genova

Roma

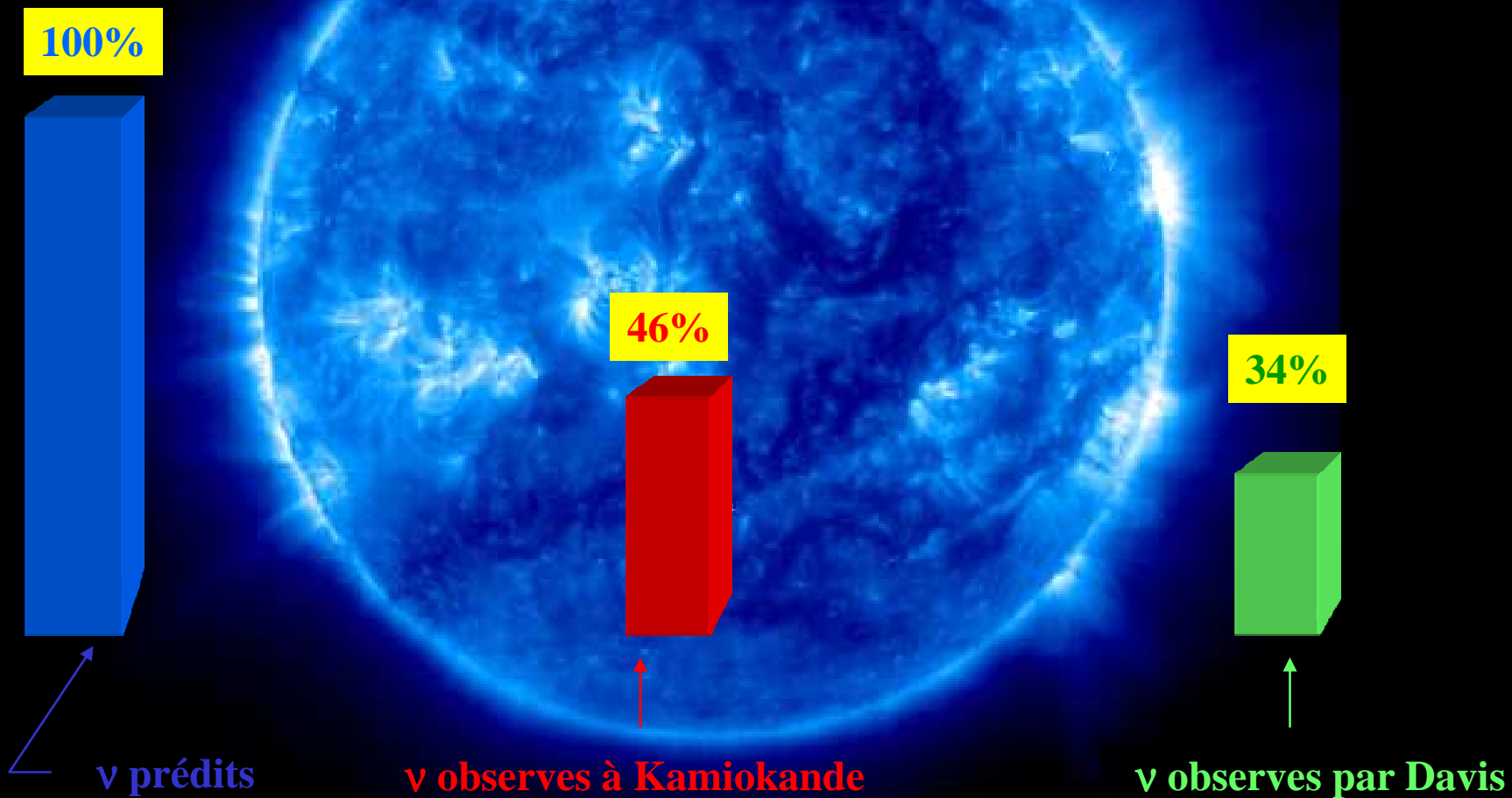
LNS

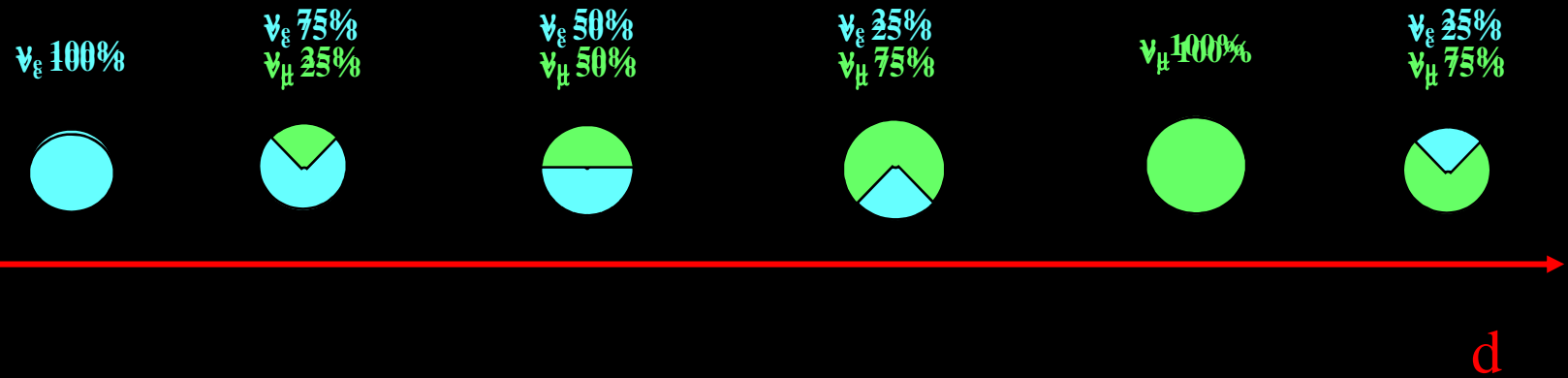
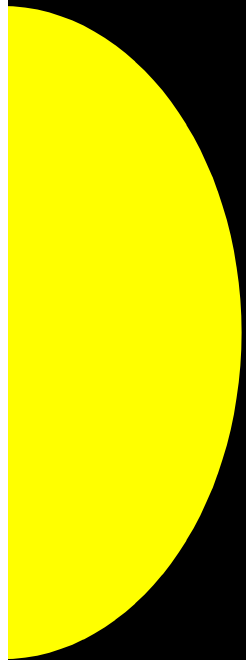
Bari

Bologna



Problème du neutrino solaire





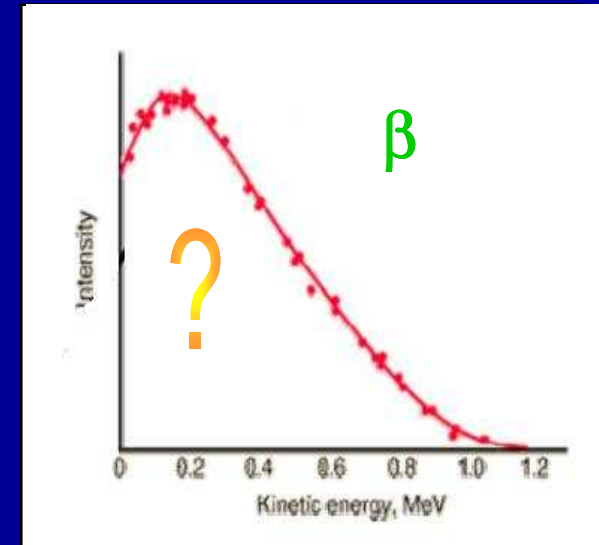
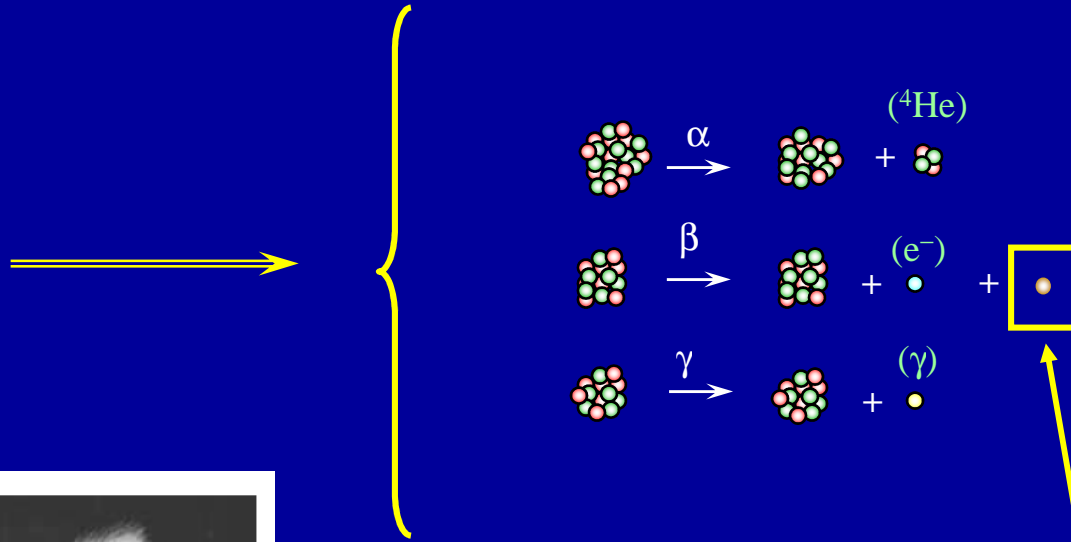
Oscillations de neutrinos $\Rightarrow m_\nu \neq 0$

Nouvelle Physique !

Le neutrino

1896 Découverte de la radioactivité

3 processus d'instabilité de la matière : α , β , γ

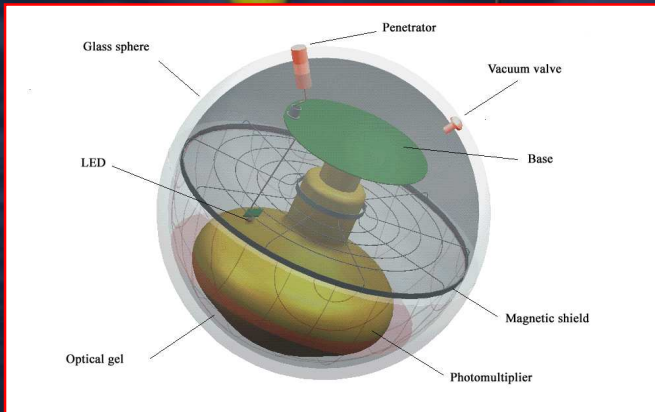


La solution “désespérée” :

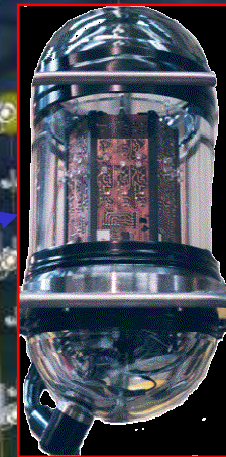
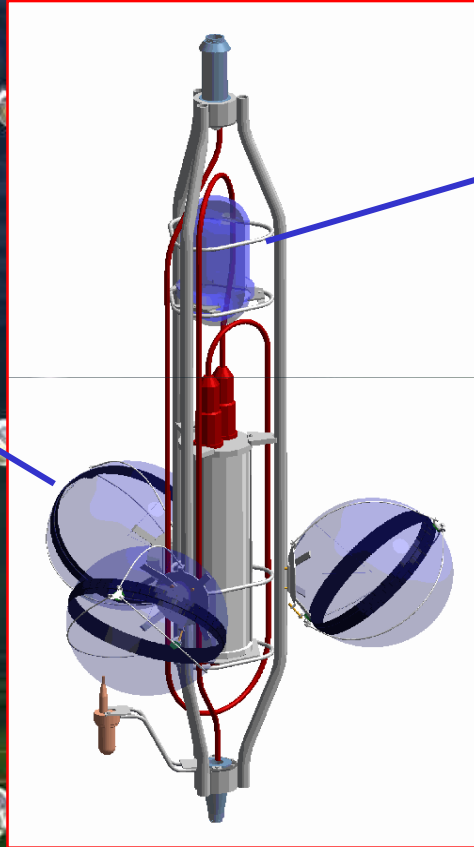
neutrino

(Lettre de Pauli du 4 Decembre 1930)

Jamais observée \Rightarrow pas de masse, pas de charge, ...

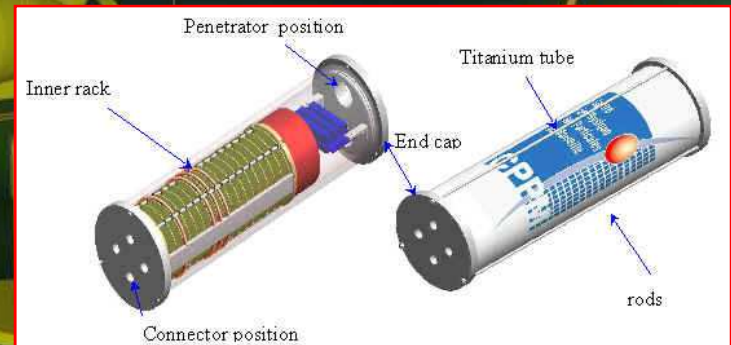


Module optique :
 PM de 10" dans
 sphères Bentos
 supportant 300 bar.



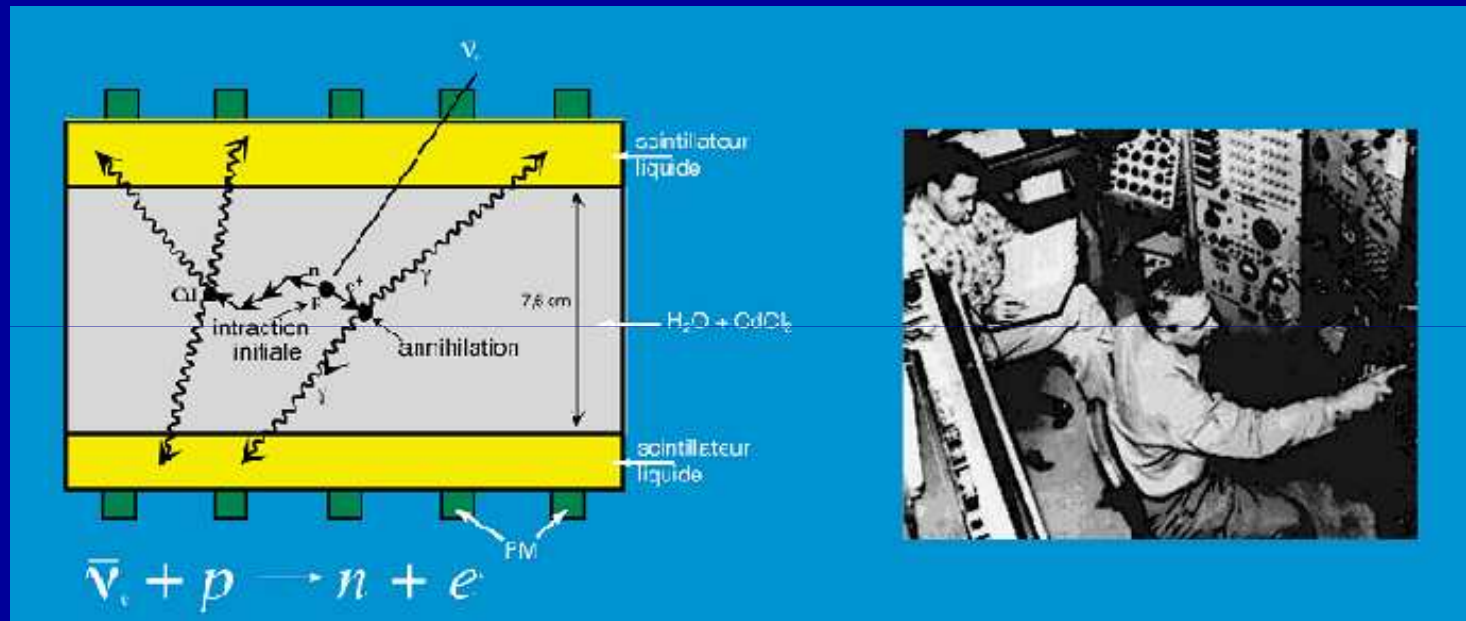
Balise optique :
 étalonnage du
 détecteur avec
 LED bleu

The Local Control Module :
 gestion des signaux et
 positionnement



La découverte

1957 : découverte du neutrino électronique



1963 : découverte du neutrino muonique

2000: découverte du neutrino de Tau